

# GPC dla obiektu SISO – model obiektu

Dla obiektu SISO przyjmujemy model w postaci **liniowego równania różnicowego**:

$$y(k) = -a_1 y(k-1) - \dots - a_{n_A} y(k-n_A) + b_0 u(k-1) + \dots + b_{n_B} u(k-n_B-1) + d(k), \quad (*)$$

gdzie  $d(k)$  jest zakłóceniem, modelowanym jako **przedziałami stałe** lub **całkowany dyskretny szum biały** (tzn.  $d(k+1) = d(k) + \epsilon(k)$ , gdzie  $\epsilon(k)$  to szum biały).

Najlepszą prognozą przyszłych wartości takiego zakłócenia jest jego aktualna wartość, tzn. na horyzoncie predykcji przyjmujemy:

$$d(k+1|k) = d(k+2|k) = \dots = d(k+N|k) = d(k),$$

**Uwaga:** Definiując operator opóźnienia o okres impulsowania  $T_p$  jako  $z^{-1}$ , możemy model (\*) przedstawić w równoważnej postaci:

$$\begin{aligned} (1 + a_1 z^{-1} + \dots + a_{n_A} z^{-n_A}) \cdot y(k) &= (b_0 + b_1 z^{-1} + \dots + b_{n_B} z^{-n_B}) \cdot u(k-1) + d(k), \\ A(z^{-1}) \cdot y(k) &= B(z^{-1}) \cdot u(k-1) + d(k) \\ &= B(z^{-1}) z^{-1} \cdot u(k) + d(k), \end{aligned}$$

skąd dostajemy model w postaci **transmitancji dyskretnych torów sterowania i zakłócenia**:

$$y(k) = \frac{(b_0 + \dots + b_{n_B} z^{-n_B}) z^{-1}}{1 + a_1 z^{-1} + \dots + a_{n_A} z^{-n_A}} \cdot u(k) + \frac{1}{1 + a_1 z^{-1} + \dots + a_{n_A} z^{-n_A}} \cdot d(k).$$

# GPC dla obiektu SISO – macierz dynamiczna M

$$y(k) = -a_1 y(k-1) - \dots - a_{n_A} y(k-n_A) + b_0 u(k-1) + \dots + b_{n_B} u(k-n_B-1) + d(k) \quad (*)$$

Zakładając:

- zerowy stan ustalony ( $y(k) = 0, k \leq 0$ ) i brak zakłócenia ( $d(k) = 0$ ),
- sterowanie w postaci skoku jednostkowego w chwili zero:  $u(k) = 0$  dla  $k < 0$ ,  $u(k) = 1$  dla  $k \geq 0$ ,

z modelu (\*) można bezpośrednio obliczyć ciąg elementów  $\{s_1, s_2, s_3, \dots\}$  odpowiedzi skokowej:

$$y(1) = s_1 = b_0$$

$$y(2) = s_2 = -a_1 s_1 + b_0 + b_1$$

$$y(3) = s_3 = -a_1 s_2 - a_2 s_1 + b_0 + b_1 + b_2$$

$$y(4) = s_4 = -a_1 s_3 - a_2 s_2 - a_3 s_1 + b_0 + b_1 + b_2 + b_3$$

$\vdots$

$$y(k) = s_k = - \sum_{i=1}^{\min\{k-1, n_A\}} a_i s_{k-i} + \sum_{i=0}^{\min\{k-1, n_B\}} b_i$$

a stąd macierz dynamiczną **M** potrzebną dla wyliczania trajektorii wymuszanej wyjść na horyzoncie predykcji.

# GPC dla obiektu SISO – trajektoria swobodna wyjść (rekurencyjnie)

$$y(k) = -a_1 y(k-1) - \dots - a_{n_A} y(k-n_A) + b_0 u(k-1) + \dots + b_{n_B} u(k-n_B-1) + d(k) \quad (*)$$

Stosując **model (\*) do predykcji wyjść**, mamy dla chwili następnej  $(k+1)$ :

$$y(k+1|k) = -a_1 y(k) - \dots - a_{n_A} y(k-n_A+1) + \\ + b_0 u(k|k) + b_1 u(k-1) + b_2 u(k-2) \dots + b_{n_B} u(k-n_B) + d(k),$$

gdzie  $y(k), y(k-1), y(k-2), \dots$  to wartości zmierzone wyjść procesu, a **zakłócenie w chwili  $k$  modelowane jest analogicznie jak w algorytmie DMC**:

$$d(k) = y(k) - y(k|k-1) = y(k) - \left[ -\sum_{i=1}^{n_A} a_i y(k-i) + \sum_{i=0}^{n_B} b_i u(k-1-i) \right], \\ d(k+1|k) = d(k+2|k) = \dots = d(k+N|k) = d(k).$$

Dla **predykcji odpowiedzi swobodnej  $y^0(k+p|k)$ ,  $p = 1, 2, \dots, N$** , zakładamy w modelu (\*)  **$u(k+p|k) = u(k-1)$ ,  $p = 0, 1, \dots, N-1$** , mamy stąd kolejno i **rekurencyjnie**:

$$y^0(k+1|k) = -a_1 y(k) - a_2 y(k-1) - \dots - a_{n_A} y(k-n_A+1) + \\ + b_0 u(k-1) + b_1 u(k-1) + b_2 u(k-2) \dots + b_{n_B} u(k-n_B) + d(k),$$

$$y^0(k+2|k) = -a_1 y^0(k+1|k) - a_2 y(k) - \dots - a_{n_A} y(k-n_A+2) + \\ + b_0 u(k-1) + b_1 u(k-1) + b_2 u(k-1) \dots + b_{n_B} u(k-n_B+1) + d(k),$$

itd.

## GPC dla obiektu SISO – trajektoria swobodna wyjść (rekurencyjnie) 2

$$y(k) = -a_1 y(k-1) - \dots - a_{n_A} y(k-n_A) + b_0 u(k-1) + \dots + b_{n_B} u(k-n_B-1) + d(k) \quad (*)$$

$$y^0(k+1|k) = -a_1 y(k) - a_2 y(k-1) - \dots - a_{n_A} y(k-n_A+1) + \\ + b_0 u(k-1) + b_1 u(k-1) + b_2 u(k-2) \dots + b_{n_B} u(k-n_B) + d(k),$$

$$y^0(k+2|k) = -a_1 y^0(k+1|k) - a_2 y(k) - \dots - a_{n_A} y(k-n_A+2) + \\ + b_0 u(k-1) + b_1 u(k-1) + b_2 u(k-1) \dots + b_{n_B} u(k-n_B+1) + d(k),$$

$$y^0(k+3|k) = -a_1 y^0(k+2|k) - a_2 y^0(k+1|k) - a_3 y(k) - \dots - a_{n_A} y(k-n_A+3) + \\ + b_0 u(k-1) + b_1 u(k-1) + b_2 u(k-1) + \dots + b_{n_B} u(k-n_B+2) + d(k),$$

itd.

czyli mamy **ogólny wzór dla rekurencyjnego liczenia trajektorii swobodnej**:

$$y^0(k+p|k) = - \sum_{i=1}^{\min\{n_A, p-1\}} a_i y^0(k+p-i|k) - \sum_{i=\min\{n_A, p-1\}+1}^{n_A} a_i y(k+p-i) + \\ + \sum_{i=0}^{\min\{n_B, p\}} b_i u(k-1) + \sum_{i=\min\{n_B, p\}+1}^{n_B} b_i u(k-1+p-i) + d(k), \\ p = 1, 2, \dots, N.$$

# GPC dla obiektu SISO – algorytmy regulatora

Mając policzoną **macierz dynamiczną  $\mathbf{M}$**  (tylko raz, **off-line**), oraz policzoną **w danej chwili  $k$**  (rekurencyjnie) trajektorię swobodną:

$$Y^0(k) = \begin{bmatrix} y^0(k+1|k) \\ y^0(k+2|k) \\ y^0(k+3|k) \\ \vdots \\ y^0(k+N|k) \end{bmatrix},$$

możemy:

- zastosować **regulator GPC analityczny rekurencyjny**:

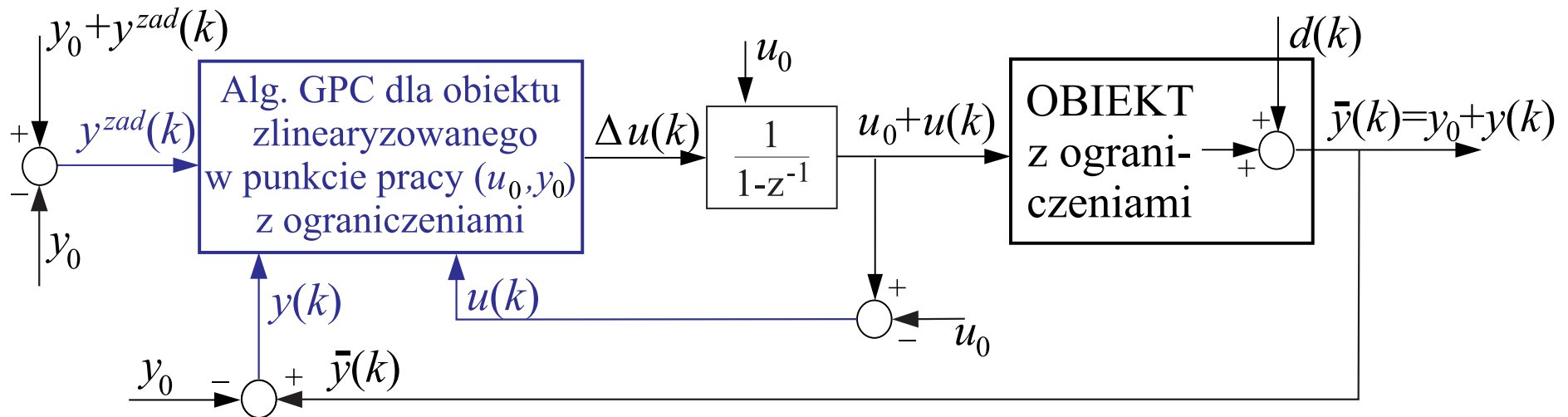
$$\Delta u(k) = \Delta \hat{u}(k|k) = \bar{\mathbf{k}}_1 [Y^{zad}(k) - Y^0(k)],$$

gdzie  $\bar{\mathbf{k}}_1$  – pierwszy wiersz macierzy  $\mathbf{K} = [\mathbf{M}^T \underline{\Psi} \mathbf{M} + \underline{\Lambda}]^{-1} \mathbf{M}^T \underline{\Psi}$ ;

- zastosować **regulator GPC numeryczny** (z ograniczeniami):  
wyznaczający  $\Delta u(k)$  z numerycznej optymalizacji zadania programowania kwadratowego.

# GPC dla obiektu SISO – realizacja algorytmu dla obiektu (oryginalnego)

Model liniowy (w szczególności dany równaniem różnicowym) to z reguły model zlinearyzowany w punkcie pracy ( $u_0, y_0$ ), co trzeba odpowiednio uwzględnić przy realizacji regulatora (zmienne przyrostowe !), np. dla regulatora numerycznego:



a dla analitycznego trzeba jeszcze dodać rzutowanie na ograniczenia, jak w PID czy DMC.

Przy liczeniu elementów składowej swobodnej trajektorii wyjść  $y^0(k + p|k)$  należy brać pod uwagę wartości: zadaną, wyjścia i sterowania jako zmienne przyrostowe względem punktu pracy (punktowi pracy odpowiada  $y^{zad}(k) = 0$ ).

Ograniczenia w zadaniu optymalizacji powinny być też dla zmiennych modelu zlinearyzowanego.

## GPC dla obiektu SISO – Przykład

Obiekt SISO rozważany dla algorytmu DMC, opisany dyskretną odpowiedzią skokową:

$$\begin{array}{c|c|c|c|c|c} s_1 & s_2 & s_3 & s_4 & s_5 & s_6 \\ \hline 0 & 0 & 0.2 & 0.5 & 0.6 & 0.62 \end{array} \quad (D = 6).$$

Tak jak poprzednio  $N_1 = 3$ ,  $N_u = 3$ ,  $N = 6$  oraz  $\underline{\Psi} = \mathbf{I}$ ,  $\underline{\Lambda} = \lambda \mathbf{I}$ . Punkt pracy:  $(u_0, y_0) = (0, 0)$ .

Dla algorytmu GPC obiekt opiszemy dyskretnym równaniem różnicowym

$$y(k) + ay(k-1) = b_2u(k-3) + b_3u(k-4) + d(k) \quad (*)$$

odpowiadającego inercji z opóźnieniem  $\tau$  równym dwu okresom próbkowania (wynika bezpośrednio z odpowiedzi skokowej obiektu). Dopasowując, przy  $d(k) = 0$ , parametry modelu do punktów odpowiedzi skokowej metodą najmniejszych kwadratów, uzyskano

$$(1 - 0.2676z^{-1})y(k) = (0.1989z^{-2} + 0.2552z^{-3})z^{-1}u(k)$$

tzn.

$$\begin{aligned} A(z^{-1}) &= 1 - 0.2676z^{-1} \\ B(z^{-1}) &= 0.1989z^{-2} + 0.2552z^{-3} \end{aligned}$$

Mamy więc

$$\begin{aligned} a_1 &= -0.2676, \quad n_A = 1 \\ b_0 &= b_1 = 0, \quad b_2 = 0.1989, \quad b_3 = 0.2552, \quad n_B = 3 \end{aligned}$$

## GPC dla obiektu SISO – Przykład (2)

$$y(k) = -ay(k-1) + b_2u(k-3) + b_3u(k-4) + d(k) \quad (*)$$

Stosując model (\*) (przy  $d(k) = 0$ ) wyznaczamy pierwszych  $N = 6$  współczynników odpowiedzi skokowej, a następnie **macierz M**:

$$\mathbf{M} = \begin{bmatrix} 0 & 0 & 0 \\ 0 & 0 & 0 \\ 0.1989 & 0 & 0 \\ 0.5073 & 0.1989 & 0 \\ 0.5899 & 0.5073 & 0.1989 \\ 0.6120 & 0.5899 & 0.5073 \end{bmatrix}$$

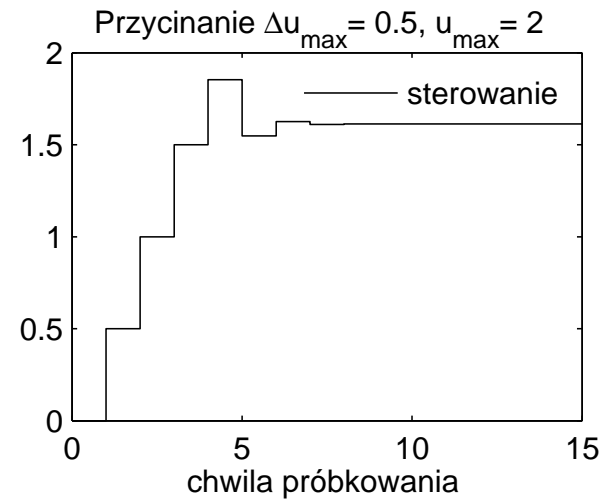
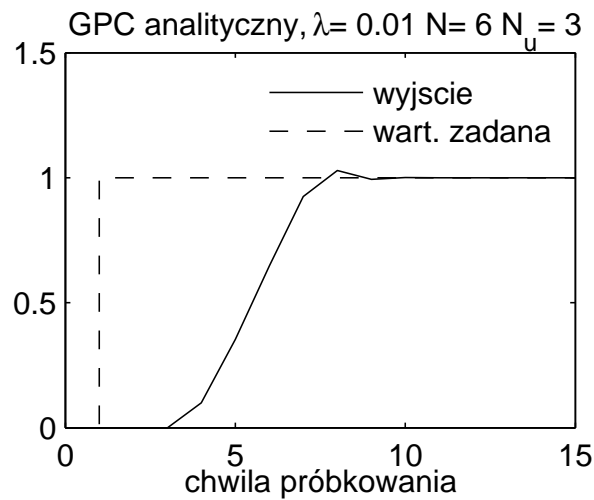
Stosując wzór (\*) przy  $u(k+p|k) = u(k-1)$ , rekurencyjnie, mamy **trajektorię swobodną**:

$$\begin{aligned} y^0(k+1|k) &= -a_1y(k) + b_2u(k-2) + b_3u(k-3) + d(k), \\ y^0(k+2|k) &= -a_1y^0(k+1|k) + b_2u(k-1) + b_3u(k-2) + d(k), \\ y^0(k+3|k) &= -a_1y^0(k+2|k) + b_2u(k-1) + b_3u(k-1) + d(k), \\ y^0(k+4|k) &= -a_1y^0(k+3|k) + b_2u(k-1) + b_3u(k-1) + d(k), \\ y^0(k+5|k) &= -a_1y^0(k+4|k) + b_2u(k-1) + b_3u(k-1) + d(k), \\ y^0(k+6|k) &= -a_1y^0(k+5|k) + b_2u(k-1) + b_3u(k-1) + d(k), \end{aligned}$$

gdzie estymata zakłócenia:  $d(k) = y(k) + a_1y(k-1) - b_2u(k-3) - b_3u(k-4)$ .

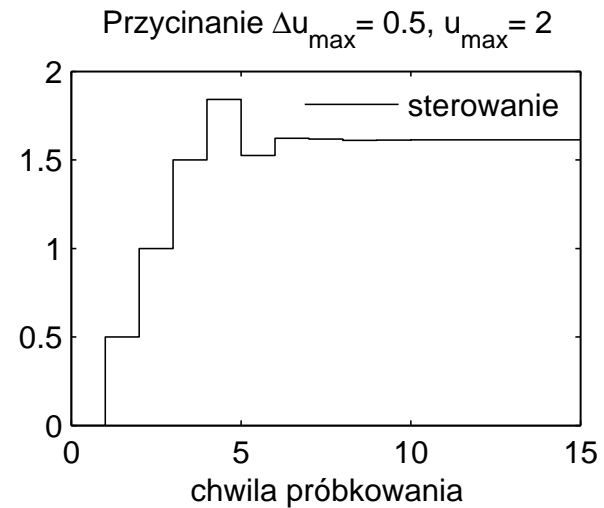
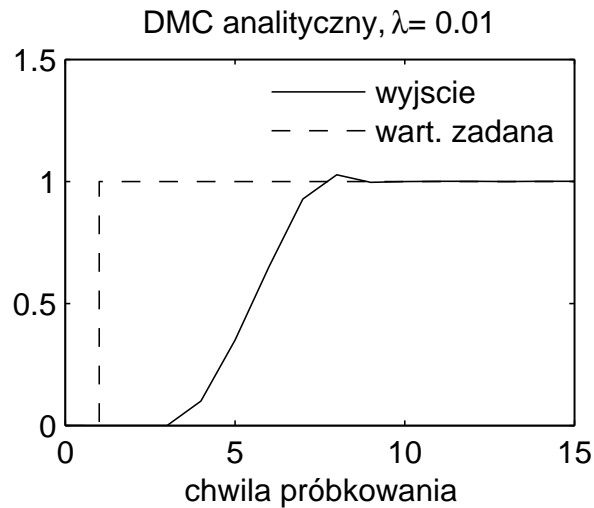


## GPC dla obiektu SISO – Przykład (3)



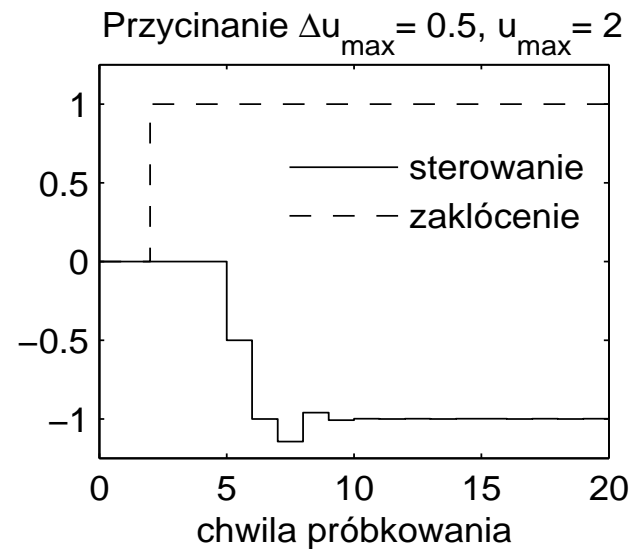
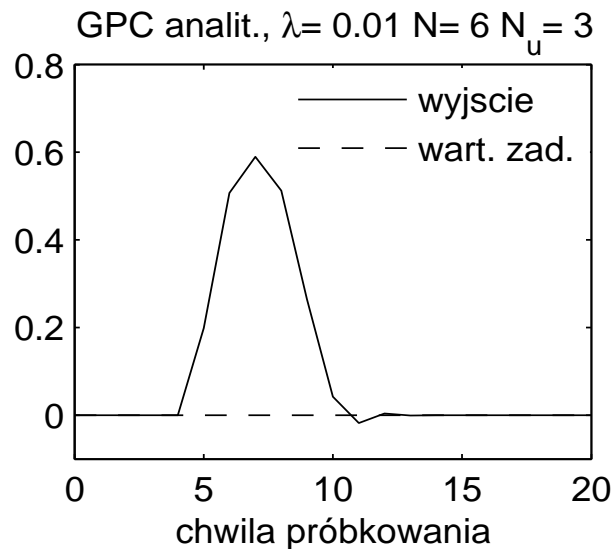
Wyniki symulacji z regulatorem GPC analitycznym.

Dla porównania:

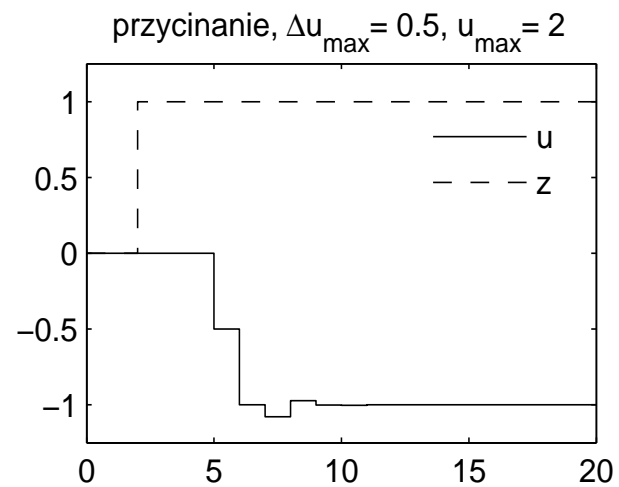
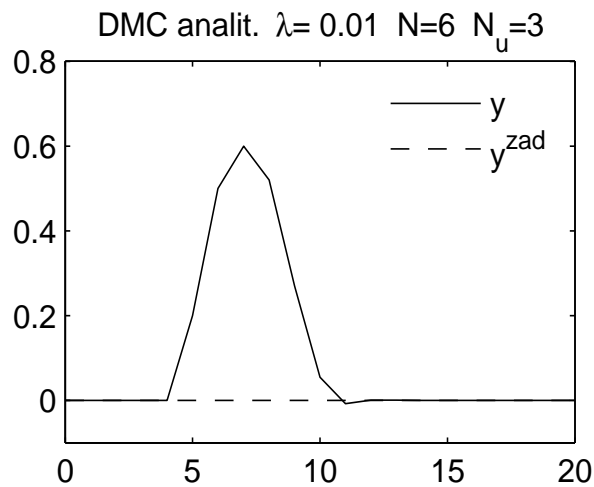


Wyniki symulacji z regulatorem DMC analitycznym.

## GPC dla obiektu SISO – Przykład (4)

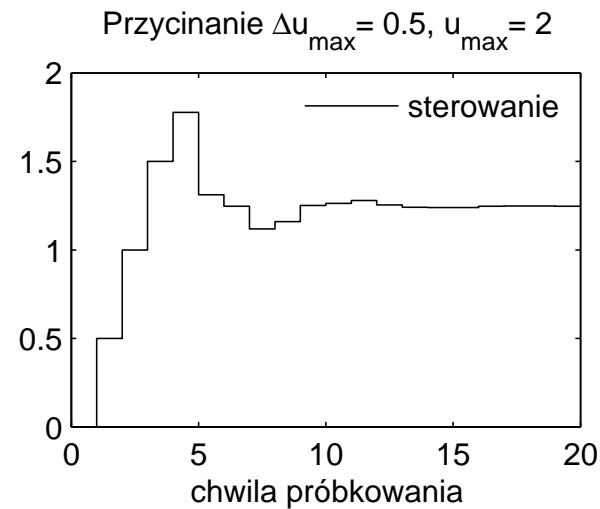
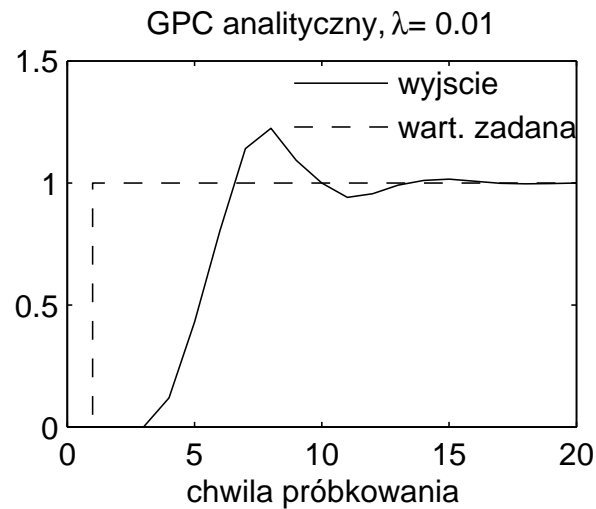


Wyniki symulacji z regulatorem GPC analitycznym, skok jednostkowy zakłócenia na wejściu obiektu w chwili  $k=2$ .  
Dla porównania:

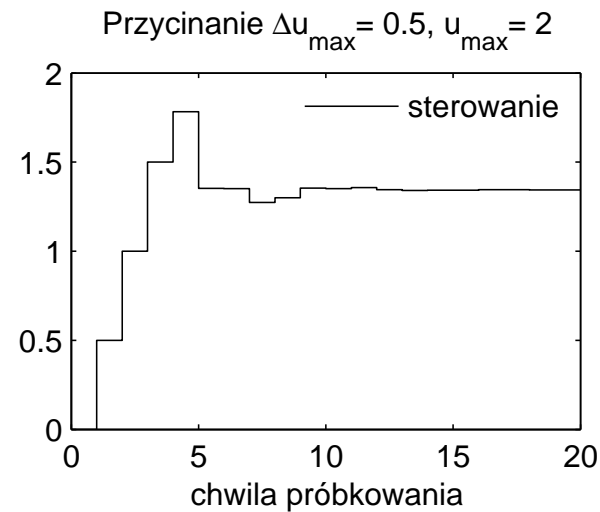
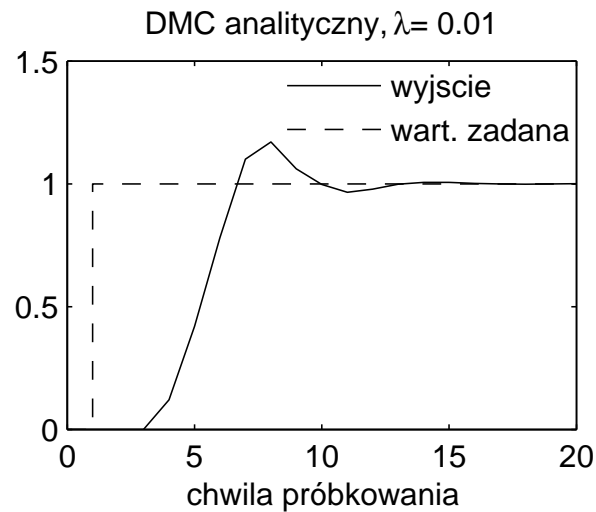


Wyniki symulacji z regulatorem DMC analitycznym, skok jednostkowy zakłócenia na wejściu obiektu w chwili  $k=2$ .

## GPC dla obiektu SISO – Przykład (5)



Wyniki symulacji z regulatorem GPC analitycznym, wzmocnienie obiektu zwiększone o 20%. Dla porównania:



Wyniki symulacji z regulatorem DMC analitycznym, wzmocnienie obiektu zwiększone o 20%.

## GPC dla obiektu SISO: **jawne** prawo regulacji – przykład cd.

Kontynuując przykład, dla skrócenia obliczeń, **ograniczymy horyzont predykcji do  $N = 4$ , a horyzont sterowania do  $N_u = 2$**  (jeśli opóźnienie  $\tau > 0$ , to zawsze  $N_u \leq N - \tau$ , w przykładzie  $\tau = 2$ ).

Dla naszego modelu obiektu:

$$y(k) = 0.2676z^{-1}y(k-1) + 0.1989u(k-3) + 0.2552u(k-4)$$

mamy estymatę zakłócenia:

$$d(k) = y(k) - 0.2676y(k-1) - 0.1989u(k-3) - 0.2552u(k-4)$$

i rekurencyjnie liczoną trajektorię swobodną:

$$\begin{aligned}y^0(k+1|k) &= 0.2676y(k) + 0.1989u(k-2) + 0.2552u(k-3) + d(k), \\y^0(k+2|k) &= 0.2676y^0(k+1|k) + 0.1989u(k-1) + 0.2552u(k-2) + d(k), \\y^0(k+3|k) &= 0.2676y^0(k+2|k) + 0.1989u(k-1) + 0.2552u(k-1) + d(k), \\y^0(k+4|k) &= 0.2676y^0(k+3|k) + 0.1989u(k-1) + 0.2552u(k-1) + d(k).\end{aligned}$$

Wszystkie elementy  $y^0(k+p|k)$  trajektorii swobodnej **zależą w istocie jedynie od  $y(k)$ ,  $y(k-1)$  oraz  $u(k-1)$ ,  $u(k-2)$ ,  $u(k-3)$ ,  $u(k-4)$  – **jawna zależność** ukryta jest z powodu rekurencji.**

Zależność jawną można wyznaczyć **eliminując rekurencję**:

– wstawiając  $y^0(k+1|k)$  do wzoru na  $y^0(k+2|k)$  i wzór na  $d(k)$  do obu wzorów dostajemy:

$$\begin{aligned}y^0(k+2|k) &= 1.3392y(k) - 0.3392y(k-1) + 0.1989u(k-1) + \\&\quad + 0.3084u(k-2) - 0.1838u(k-3) - 0.3235u(k-4),\end{aligned}$$

## GPC dla obiektu SISO: **jawne** prawo regulacji – przykład cd. (2)

$$\begin{aligned}y^0(k+1|k) &= 0.2676 y(k) + 0.1989 u(k-2) + 0.2552 u(k-3) + d(k), \\y^0(k+2|k) &= 1.3392 y(k) - 0.3392 y(k-1) + 0.1989 u(k-1) + \\&\quad + 0.3084 u(k-2) - 0.1838 u(k-3) - 0.3235 u(k-4),\end{aligned}$$

$$\begin{aligned}y^0(k+3|k) &= 0.2676 y^0(k+2|k) + 0.4541 u(k-1) + d(k), \\y^0(k+4|k) &= 0.2676 y^0(k+3|k) + 0.4541 u(k-1) + d(k).\end{aligned}$$

Dalej eliminując rekurencję:

– wstawiając jawny wzór na  $y^0(k+2|k)$  i wzór na  $d(k)$  do wzoru rekurenc. na  $y^0(k+3|k)$  dostajemy:

$$\begin{aligned}y^0(k+3|k) &= 1.3584 y(k) - 0.3584 y(k-1) + 0.5073 u(k-1) + \\&\quad + 0.0825 u(k-2) - 0.2481 u(k-3) - 0.3419 u(k-4),\end{aligned}$$

– wstawiając jawny wzór na  $y^0(k+3|k)$  i wzór na  $d(k)$  do wzoru rekurenc. na  $y^0(k+4|k)$  dostajemy:

$$\begin{aligned}y^0(k+4|k) &= 1.3635 y(k) - 0.3635 y(k-1) + 0.5899 u(k-1) + \\&\quad + 0.0221 u(k-2) - 0.2653 u(k-3) - 0.3467 u(k-4),\end{aligned}$$

(Przypomnijmy, w przykładzie mamy:  $n_A = 1$ ,  $n_B = 3$ )

## GPC dla obiektu SISO: **jawne** prawo regulacji – przykład cd.(3)

Macierz dynamiczna dla  $N = 4$  i  $N_u = 2$  ma postać

$$\mathbf{M} = \begin{bmatrix} 0 & 0 \\ 0 & 0 \\ 0.1989 & 0 \\ 0.5073 & 0.1989 \end{bmatrix}$$

stąd dla  $\lambda = 0.1$ :

$$\mathbf{K} = [\mathbf{M}^T \underline{\Psi} \mathbf{M} + \underline{\Lambda}]^{-1} \mathbf{M}^T \underline{\Psi} = [\mathbf{M}^T \mathbf{M} + 0.1 \mathbf{I}]^{-1} \mathbf{M}^T = \begin{bmatrix} 0 & 0 & 0.6140 & 1.1220 \\ 0 & 0 & -0.4439 & 0.6140 \end{bmatrix} = \begin{bmatrix} \bar{\mathbf{k}}_1 \\ \bar{\mathbf{k}}_2 \end{bmatrix}$$

czyli prawo sterowania:

$$\begin{aligned} \Delta u(k) &= \bar{\mathbf{k}}_1 [Y^{zad}(k) - Y^0(k)] \\ &= [0.6140 \quad 1.1220] \begin{bmatrix} y^{zad}(k) - y^0(k+3|k) \\ y^{zad}(k) - y^0(k+4|k) \end{bmatrix} \\ &= [0.6140 \quad 1.1220] \begin{bmatrix} y^{zad}(k) - [1.3584y(k) - 0.3584y(k-1) + 0.5073u(k-1) + \\ + 0.0825u(k-2) - 0.2481u(k-3) - 0.3419u(k-4)] \\ y^{zad}(k) - [1.3635y(k) - 0.3635y(k-1) + 0.5899u(k-1) + \\ + 0.0221u(k-2) - 0.2653u(k-3) - 0.3467u(k-4)] \end{bmatrix} \\ &= 1.736y^{zad}(k) - 2.3639y(k) + 0.6279y(k-1) - 0.9734u(k-1) - 0.0755u(k-2) + \\ &\quad + 0.45u(k-3) + 0.5989u(k-4) \end{aligned}$$

lub w postaci **równoważnej alternatywnej**:

$$\Delta u(k) = 1.736(y^{zad}(k) - y(k)) + 0.6279\Delta y(k) - 0.9734\Delta u(k-1) - 1.0489\Delta u(k-2) + \\ - 0.5989\Delta u(k-3).$$

# GPC dla obiektu SISO: **jawne** prawo regulacji (bez ograniczeń) - OGÓLNIE

Przedstawiony przykład zilustrował jeden ze sposobów wyznaczania jawnego prawa regulacji GPC i jego dwie równoważne postacie.

Można **ogólnie wykazać**, że dla modelu obiektu postaci:

$$y(k) = - \sum_{j=1}^{n_A} a_j y(k-j) + \sum_{j=1}^{n_B+1} b_j u(k-j)$$

jawne prawo regulacji ma postać:

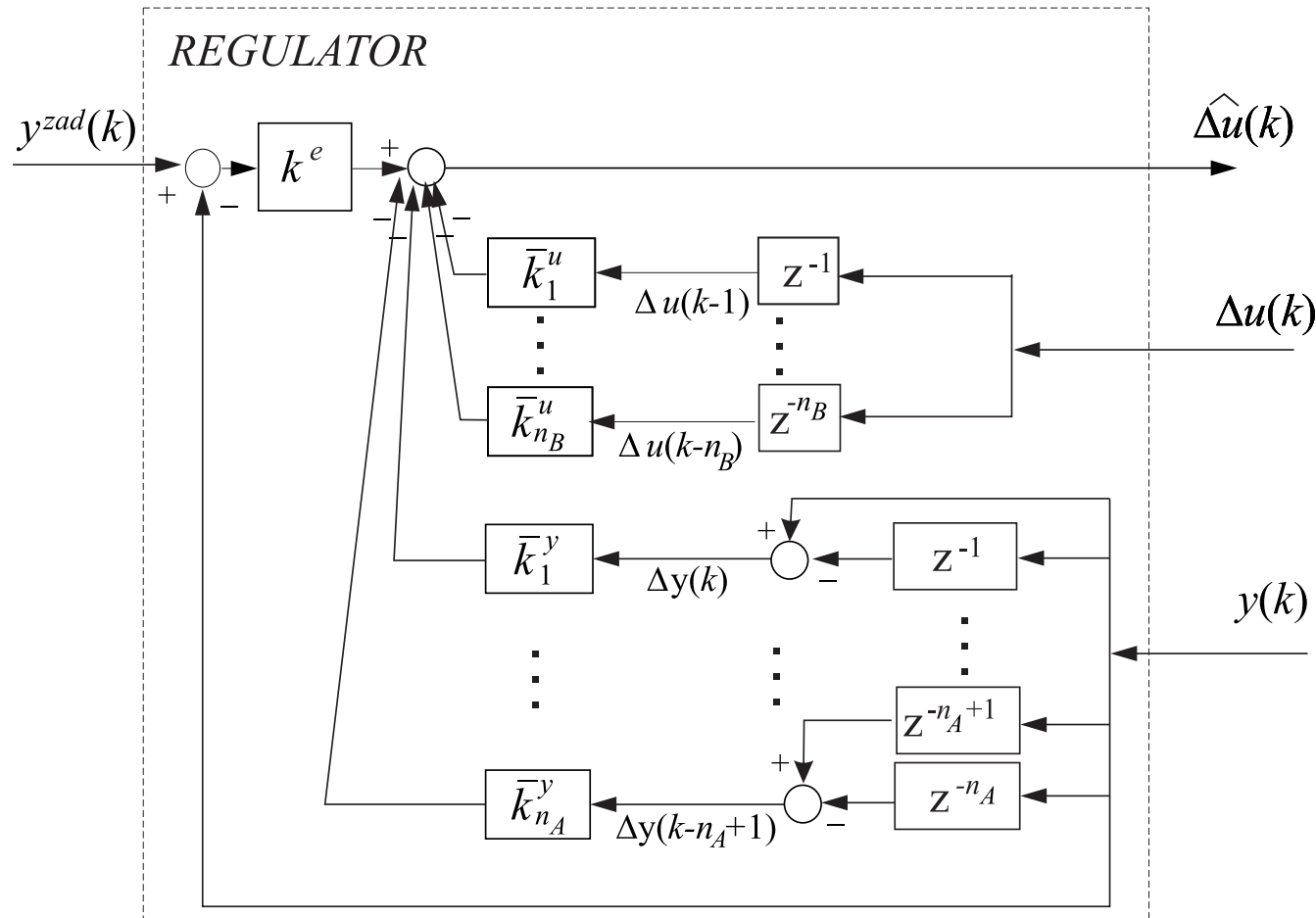
$$\Delta \hat{u}(k) = k^e y^{zad}(k) - \sum_{j=0}^{n_A} k_j^y y(k-j) - \sum_{j=1}^{n_B+1} k_j^u u(k-j)$$

lub równoważnie:

$$\Delta \hat{u}(k) = k^e (y_k^{zad} - y(k)) - \sum_{j=1}^{n_A} \bar{k}_j^y \Delta y(k-j+1) - \sum_{j=1}^{n_B} \bar{k}_j^u \Delta u(k-j)$$

# GPC dla obiektu SISO – struktura analitycznego jawnego prawa regulacji

$$\Delta \hat{u}(k) = k^e (y_k^{zad} - y(k)) - \sum_{j=1}^{n_A} \bar{k}_j^y \Delta y(k-j+1) - \sum_{j=1}^{n_B} \bar{k}_j^u \Delta u(k-j)$$

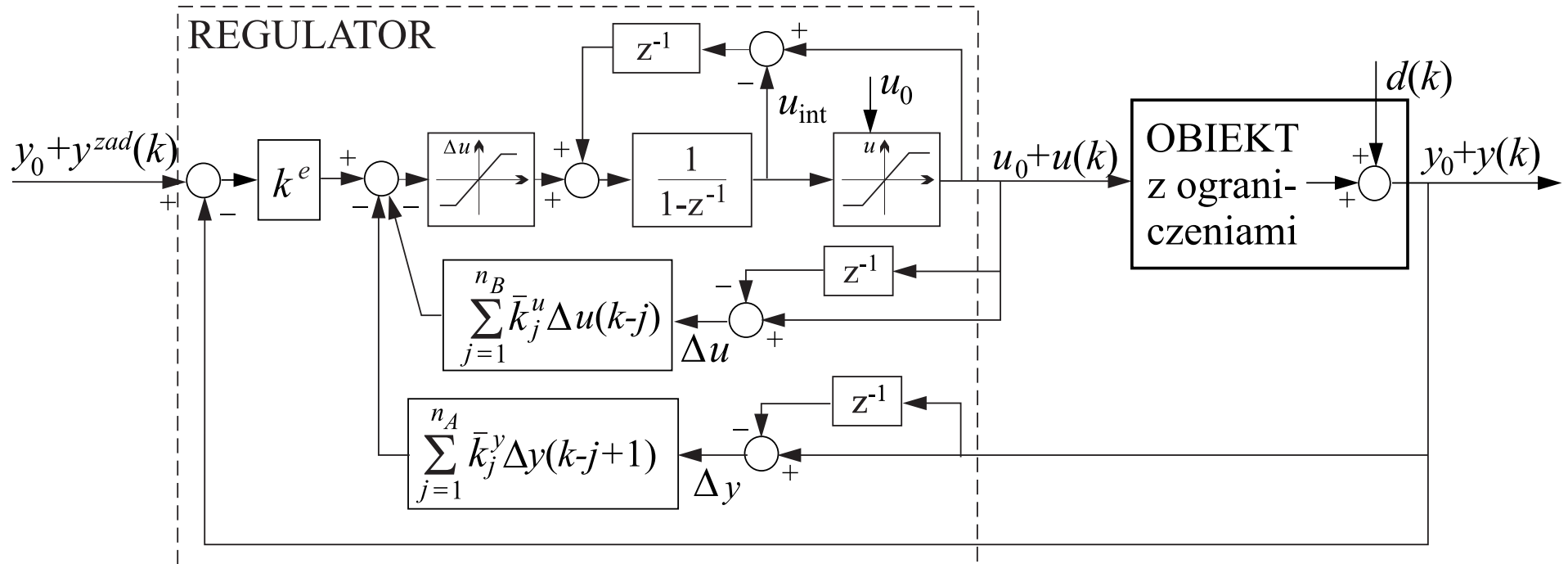


**Uwaga:** Sygnały tu występujące to przyrostowe w punkcie pracy ( $y_0, u_0$ ).



## GPC dla obiektu SISO – struktura analitycznego jawnego prawa regulacji, z uwzględnieniem ograniczeń sterowania (przez przycinanie)

$$\Delta \hat{u}(k) = k^e (y_k^{zad} - y(k)) - \sum_{j=1}^{n_A} \bar{k}_j^y \Delta y(k-j+1) - \sum_{j=1}^{n_B} \bar{k}_j^u \Delta u(k-j)$$



**Punkt pracy:**  $(u_0, y_0)$  – w którym wyznaczono model zlinearyzowany dany równaniem różnicowym;  
załączamy regulator ze stanem początkowym integratora  $u_0$  (pokazane na rysunku).

# GPC dla obiektu MIMO - model obiektu (podejście skalarne MISO)

Model MIMO w postaci  $n_y$  **dyskretnych równań różnicowych** ( $n_y \times n_u$  **transmitancji dyskretnych**) można traktować **jako  $n_y$  obiektów MISO (multi-input single-output)**, tzn. zależności każdego z wyjść  $y_m$ ,  $m = 1, \dots, n_y$ , od wszystkich ( $n_u$ ) sterowań.

**Struktura tych modeli MISO jest identyczna jak modelu SISO : – model dla obiektu SISO był :**

$$y(k) = -a_1 y(k-1) - \dots - a_{n_A} y(k-n_A) + \\ + b_0 u(k-1) + \dots + b_{n_B} u(k-n_B-1) + d(k),$$

natomiast dla każdego z  $n_y$  modeli MISO mamy:

$$y_m(k) = -a_1^m y_m(k-1) - \dots - a_{n_A^m}^m y_m(k-n_A^m) + \\ + b_0^{m,1} u_1(k-1) + \dots + b_{n_B^{m,1}}^{m,1} u_1(k-n_B^{m,1}-1) + \\ + b_0^{m,2} u_2(k-1) + \dots + b_{n_B^{m,2}}^{m,2} u_2(k-n_B^{m,2}-1) + \\ \vdots \\ + b_0^{m,n_u} u_{n_u}(k-1) + \dots + b_{n_B^{m,n_u}}^{m,n_u} u_{n_u}(k-n_B^{m,n_u}-1) + d_m(k);$$

czyli w zwięzłym zapisie:

$$y_m(k) = - \sum_{i=1}^{n_A^m} a_i^m y_m(k-i) + \sum_{j=1}^{n_u} \sum_{i=0}^{n_B^{m,j}} b_i^{m,j} u_j(k-1-i) + d_m(k), \quad m = 1, \dots, n_y.$$

## GPC dla obiektu MIMO - model obiektu (podejście skalarne MISO) (2)

$$y_m(k) = - \sum_{i=1}^{n_A^m} a_i^m y_m(k-i) + \sum_{j=1}^{n_u} \sum_{i=0}^{n_B^{m,j}} b_i^{m,j} u_j(k-1-i) + d_m(k), \quad m = 1, \dots, n_y.$$

gdzie

$$d_m(k) = y_m(k) - \left[ - \sum_{i=1}^{n_A^m} a_i^m y_m(k-i) + \sum_{j=1}^{n_u} \sum_{i=0}^{n_B^{m,j}} b_i^{m,j} u_j(k-1-i) \right]$$

są estymatami zakłóceń niemierzalnych wyliczonymi w chwili  $k$ ,  $m = 1, \dots, n_y$ .

Wykorzystując powyższe wzory:

- liczymy **odpowiedzi skokowe** każdego z wyjść na każde ze sterowań, a stąd macierzową odpowiedź skokową i **macierz dynamiczną  $\mathbf{M}$** ,
- liczymy **rekurencyjnie poszczególne elementy odpowiedzi swobodnej** każdego z wyjść na horyzoncie predykcji,

analogicznie jak dla obiektu SISO.

# GPC dla obiektu MIMO – model obiektu (podejście MISO), przykład

Przykład transmitancji ciągłej **objektu MIMO o 2 wejściach** ( $n_u = 2$ ) i **2 wyjściach** ( $n_y = 2$ ), reprezentującej małosygnałowy model reaktora przepływowego w punkcie pracy <sup>\*)</sup> :

$$\begin{bmatrix} Y_1(s) \\ Y_2(s) \end{bmatrix} = \begin{bmatrix} \frac{1}{1 + 0.7s} & \frac{5}{1 + 0.3s} \\ \frac{1}{1 + 0.5s} & \frac{2}{1 + 0.4s} \end{bmatrix} \begin{bmatrix} U_1(s) \\ U_2(s) \end{bmatrix}$$

Dokonując dyskretyzacji z okresem próbkowania  $T_p = 0.03$  (funkcja "c2d" pakietu Matlab) dostajemy transmitancję dyskretną postaci

$$\begin{bmatrix} y_1(k) \\ y_2(k) \end{bmatrix} = \begin{bmatrix} \frac{0.041951z^{-1}}{1 - 0.958048z^{-1}} & \frac{0.475812z^{-1}}{1 - 0.904837z^{-1}} \\ \frac{0.058235z^{-1}}{1 - 0.941764z^{-1}} & \frac{0.144513z^{-1}}{1 - 0.927743z^{-1}} \end{bmatrix} \begin{bmatrix} u_1(k) \\ u_2(k) \end{bmatrix}$$

<sup>\*)</sup>E. Camacho, C. Bordons. *Model Predictive Control*. Springer, London, 1999.

## GPC dla obiektu MIMO – model obiektu (podejście MISO), przykład (2)

$$\begin{bmatrix} y_1(k) \\ y_2(k) \end{bmatrix} = \begin{bmatrix} \frac{0.041951z^{-1}}{1 - 0.958048z^{-1}} & \frac{0.475812z^{-1}}{1 - 0.904837z^{-1}} \\ \frac{0.058235z^{-1}}{1 - 0.941764z^{-1}} & \frac{0.144513z^{-1}}{1 - 0.927743z^{-1}} \end{bmatrix} \begin{bmatrix} u_1(k) \\ u_2(k) \end{bmatrix}$$

Zapis w postaci dwóch obiektów MISO:

$$y_1(k) = \frac{0.041951z^{-1}}{1 - 0.958048z^{-1}}u_1(k) + \frac{0.475812z^{-1}}{1 - 0.904837z^{-1}}u_2(k)$$

$$y_2(k) = \frac{0.058235z^{-1}}{1 - 0.941764z^{-1}}u_1(k) + \frac{0.144513z^{-1}}{1 - 0.927743z^{-1}}u_2(k)$$

Sprowadzając prawą stronę każdego z równań do **wspólnego mianownika**:

$$y_1(k) = \frac{0.041951z^{-1}(1 - 0.904837z^{-1})u_1(k) + 0.475812z^{-1}(1 - 0.958048z^{-1})u_2(k)}{(1 - 0.958048z^{-1})(1 - 0.904837z^{-1})}$$

$$y_2(k) = \frac{0.058235z^{-1}(1 - 0.927743z^{-1})u_1(k) + 0.144513z^{-1}(1 - 0.941764z^{-1})u_2(k)}{(1 - 0.941764z^{-1})(1 - 0.927743z^{-1})}$$

**Uwaga:** rząd wielomianu mianownika to suma rzędów wielomianów w mianownikach sumowanych transmitancji – przy większej liczbie wejść **prowadzi to do modeli o wysokich rzędach**.

## GPC dla obiektu MIMO – model obiektu (podejście MISO), przykład (3)

co prowadzi do **dwóch równań dyskretnych dla obiektów MISO**:

$$(1 - 1.862885z^{-1} + 0.866877z^{-2})y_1(k) = \\ (0.041951 - 0.037959z^{-1})u_1(k-1) + (0.475812 - 0.455851z^{-1})u_2(k-1),$$

$$(1 - 1.869508z^{-1} + 0.873715z^{-2})y_2(k) = \\ (0.058235 - 0.054027z^{-1})u_1(k-1) + (0.144513 - 0.136097z^{-1})u_2(k-1),$$

lub **równoważnie**:

$$y_1(k) = 1.862885y_1(k-1) + 0.866877y_1(k-2) + \\ + 0.041951u_1(k-1) - 0.037959u_1(k-2) + 0.475812u_2(k-1) - 0.455851u_2(k-2),$$

$$y_2(k) = 1.869508y_2(k-1) + 0.873715y_2(k-2) + \\ + 0.058235u_1(k-1) - 0.054027u_1(k-2) + 0.144513u_2(k-1) - 0.136097u_2(k-2),$$

tzn.

$$y_1(k) = -a_1^1 y_1(k-1) - a_2^1 y_1(k-2) + \\ + b_0^{1,1} u_1(k-1) + b_1^{1,1} u_1(k-2) + b_0^{1,2} u_2(k-1) + b_1^{1,2} u_2(k-2),$$

$$y_2(k) = -a_1^2 y_2(k-1) - a_2^2 y_2(k-2) + \\ + b_0^{2,1} u_1(k-1) + b_1^{2,1} u_1(k-2) + b_0^{2,2} u_2(k-1) + b_1^{2,2} u_2(k-2),$$

## GPC dla obiektu MIMO – przykład (podejście MISO) (4)

Wyznamy wzory na trajektorie wyjść prognozowanych dla wartości horyzontów: predykcji  $N = 3$  i sterowania  $N_u = 2$ .

Wyznamy elementy odpowiedzi skokowych, a następnie macierz dynamiczną:

$$\mathbf{M} = \begin{bmatrix} \mathbf{S}_1 & \mathbf{0} \\ \mathbf{S}_2 & \mathbf{S}_1 \\ \mathbf{S}_3 & \mathbf{S}_2 \end{bmatrix} = \begin{bmatrix} 0.04195 & 0.47581 & 0 & 0 \\ 0.05824 & 0.14451 & 0 & 0 \\ 0.08214 & 0.90635 & 0.04195 & 0.47581 \\ 0.11308 & 0.27858 & 0.05824 & 0.14451 \\ 0.12065 & 1.29591 & 0.08214 & 0.90635 \\ 0.16473 & 0.40297 & 0.11308 & 0.27858 \end{bmatrix}$$

Wzór na predykcję,  $Y^{pred}(k) = Y^0(k) + \mathbf{M}\Delta U(k)$ , przyjmuje w rozważanym przypadku postać:

$$\begin{bmatrix} y_1(k+1|k) \\ y_2(k+1|k) \\ y_1(k+2|k) \\ y_2(k+2|k) \\ y_1(k+3|k) \\ y_2(k+3|k) \end{bmatrix} = \begin{bmatrix} y_1^0(k+1|k) \\ y_2^0(k+1|k) \\ y_1^0(k+2|k) \\ y_2^0(k+2|k) \\ y_1^0(k+3|k) \\ y_2^0(k+3|k) \end{bmatrix} + \mathbf{M} \begin{bmatrix} \Delta u_1(k|k) \\ \Delta u_2(k|k) \\ \Delta u_1(k+1|k) \\ \Delta u_2(k+1|k) \end{bmatrix}$$

## GPC dla obiektu MIMO – przykład (podejście MISO) (5)

Składową swobodną trajektorii wyjść  $Y^0(k)$  liczymy w sposób rekurencyjny:

$$\begin{aligned} y_1^0(k+1|k) = & -a_1^1 y_1(k) - a_2^1 y_1(k-1) + b_0^{1,1} u_1(k-1) + \\ & + b_1^{1,1} u_1(k-1) + b_0^{1,2} u_2(k-1) + b_1^{1,2} u_2(k-1) + d_1(k) \end{aligned}$$

$$\begin{aligned} y_2^0(k+1|k) = & -a_1^2 y_2(k) - a_2^2 y_2(k-1) + b_0^{2,1} u_1(k-1) + \\ & + b_1^{2,1} u_1(k-1) + b_0^{2,2} u_2(k-1) + b_1^{2,2} u_2(k-1) + d_2(k) \end{aligned}$$

$$\begin{aligned} y_1^0(k+2|k) = & -a_1^1 y_1^0(k+1|k) - a_2^1 y_1(k) + b_0^{1,1} u_1(k-1) + \\ & + b_1^{1,1} u_1(k-1) + b_0^{1,2} u_2(k-1) + b_1^{1,2} u_2(k-1) + d_1(k) \end{aligned}$$

itd. aż do

$$\begin{aligned} y_2^0(k+3|k) = & -a_1^2 y_2^0(k+2|k) - a_2^2 y_2^0(k+1|k) + b_0^{2,1} u_1(k-1) + \\ & + b_1^{2,1} u_1(k-1) + b_0^{2,2} u_2(k-1) + b_1^{2,2} u_2(k-1) + d_2(k) \end{aligned}$$



## GPC dla obiektu MIMO – przykład (podejście MISO) (6)

Sttałe na horyzoncie predykcji **zakłócenia**  $d(k)$  są różnicą między wyjściami (zmierzonymi) obiektu w chwili  $k$  a wyjściami modelu na chwilę  $k$  obliczonymi w chwili  $k - 1$ :

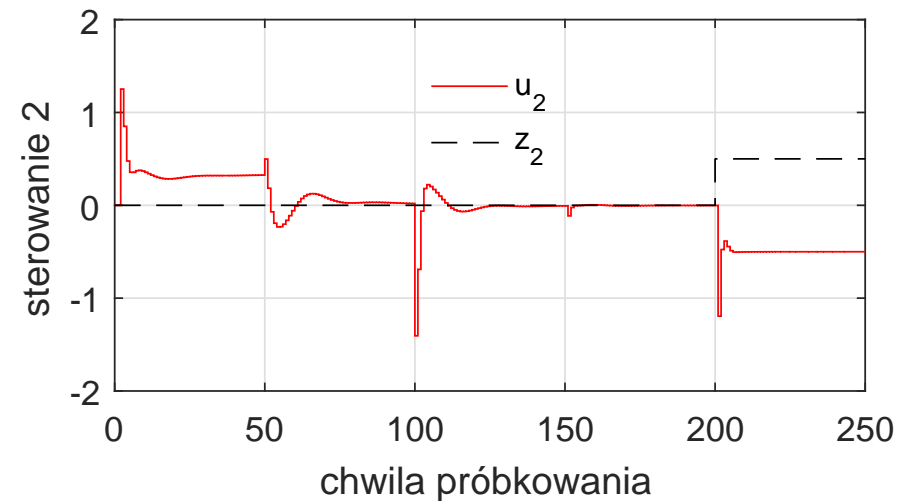
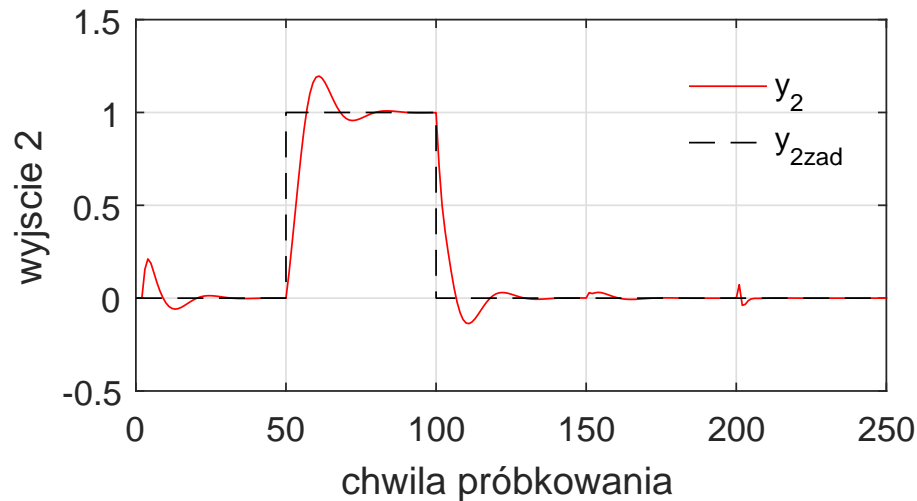
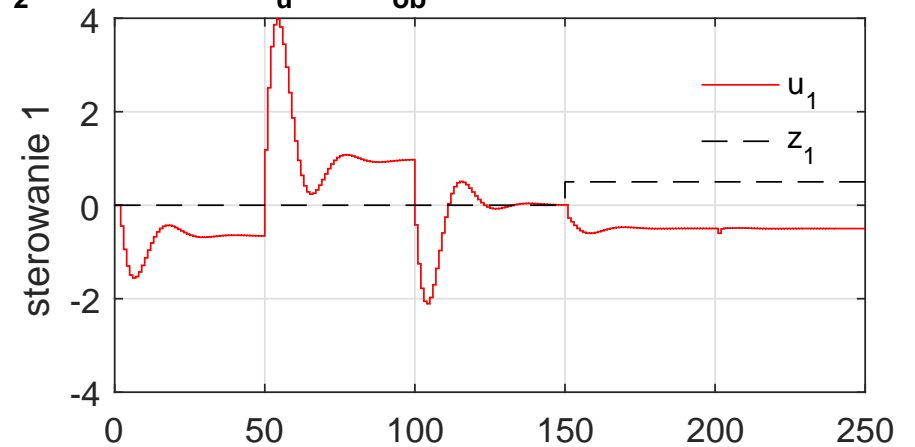
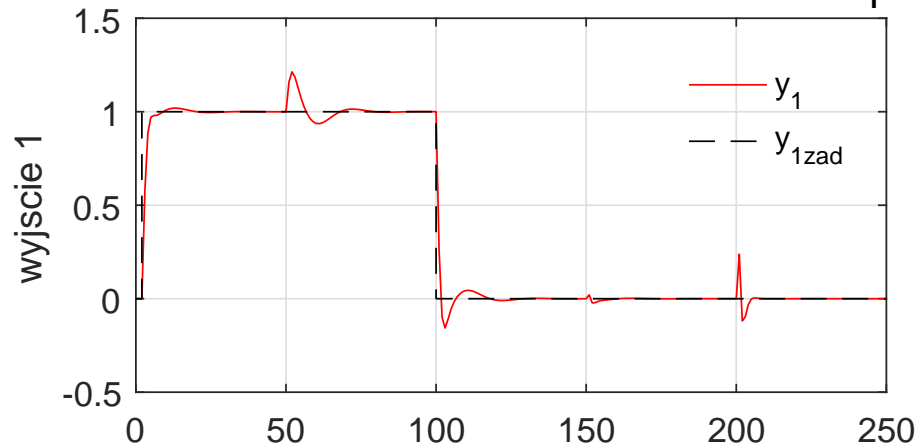
$$d_1(k) = y_1(k) - \left[ -a_1^1 y_1(k-1) - a_2^1 y_1(k-2) + \right. \\ \left. + b_0^{1,1} u_1(k-1) + b_1^{1,1} u_1(k-2) + b_0^{1,2} u_2(k-1) + b_1^{1,2} u_2(k-2) \right]$$

$$d_2(k) = y_2(k) - \left[ -a_1^2 y_2(k-1) - a_2^2 y_2(k-2) + \right. \\ \left. + b_0^{2,1} u_1(k-1) + b_1^{2,1} u_1(k-2) + b_0^{2,2} u_2(k-1) + b_1^{2,2} u_2(k-2) \right]$$

Przyjęto  $\Psi = \mathbf{I}$  i  $\Lambda = \text{diag}\{\lambda_1, \lambda_2\}$ , początkowo przy  $\lambda_1 = 0.1, \lambda_2 = 0.1$ .

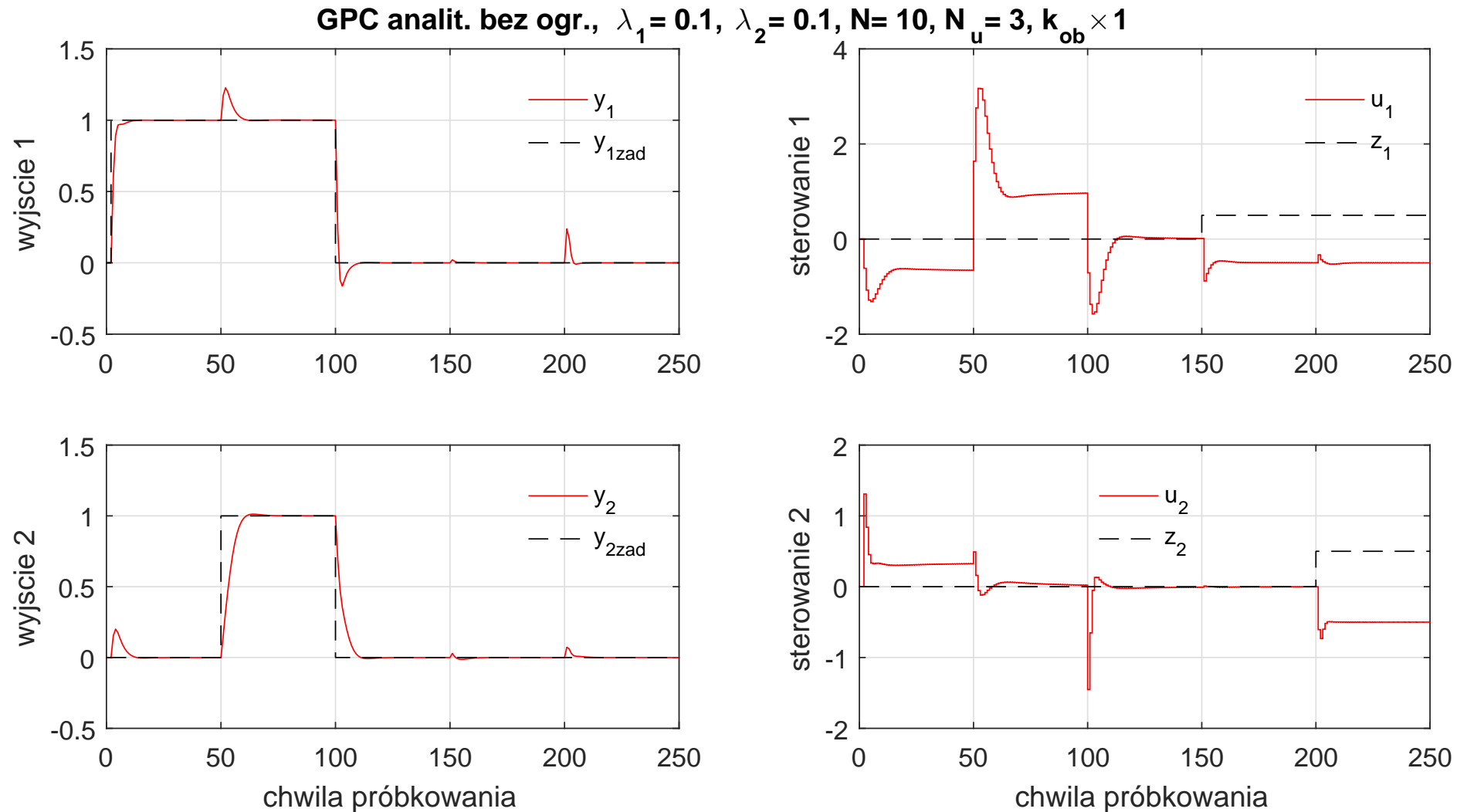
# GPC dla obiektu MIMO – przykład (7)

GPC analit. bez ogr.,  $\lambda_1 = 0.1$ ,  $\lambda_2 = 0.1$ ,  $N = 3$ ,  $N_u = 2$ ,  $k_{ob} \times 1$



Wyniki symulacji z regulatorem GPC analitycznym, bez ograniczeń, skoki wartości zadanych i zakłóceń na wejściach obiektu (parametry jak w przykładzie).

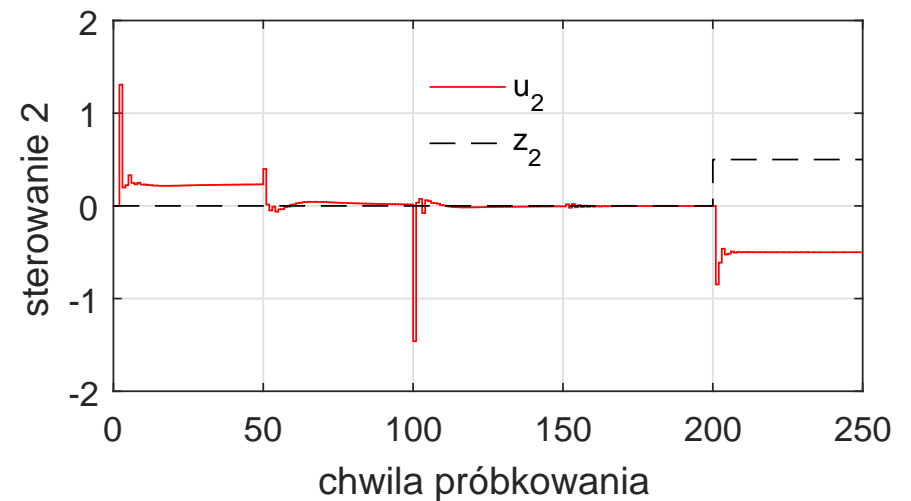
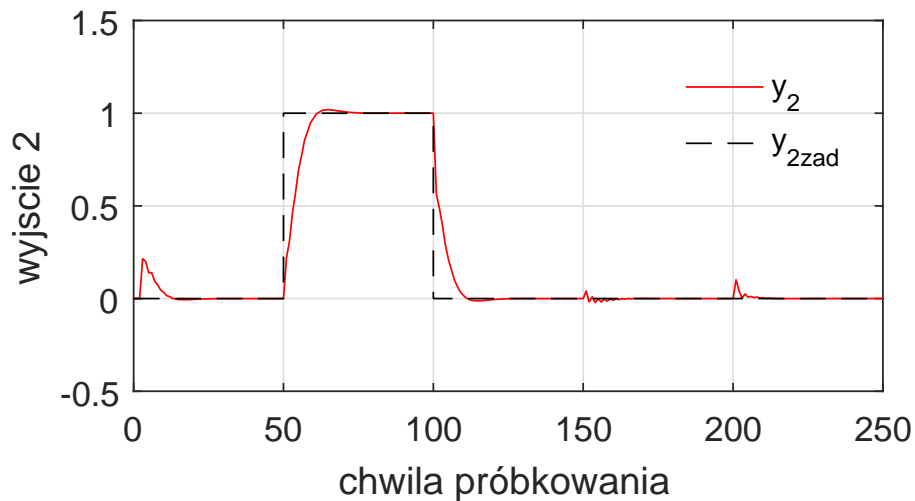
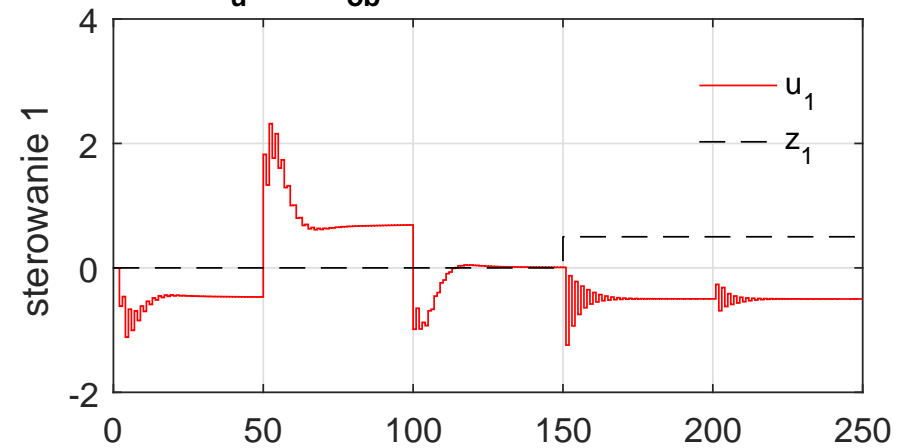
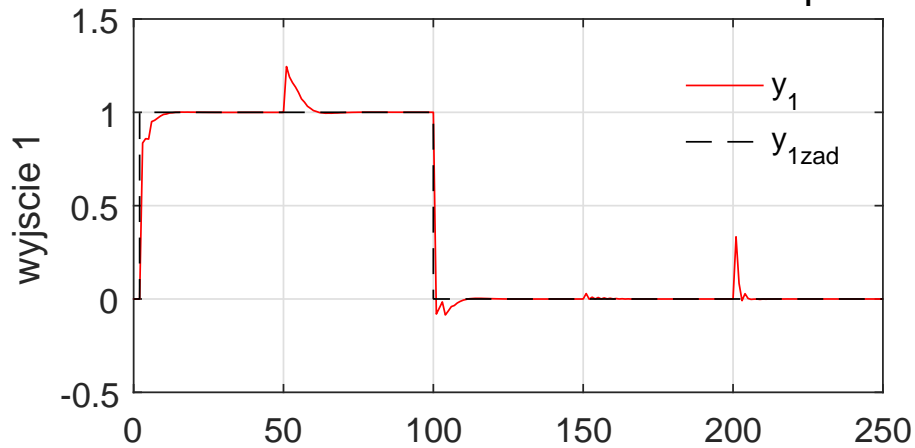
# GPC dla obiektu MIMO – przykład (8)



Wyniki symulacji z regulatorem GPC analitycznym, bez ograniczeń, skoki wartości zadanych i zakłóceń na wejściach obiektu, **horyzonty wydłużone do  $N = 10$ ,  $N_u = 3$ .**

# GPC dla obiektu MIMO – przykład (9)

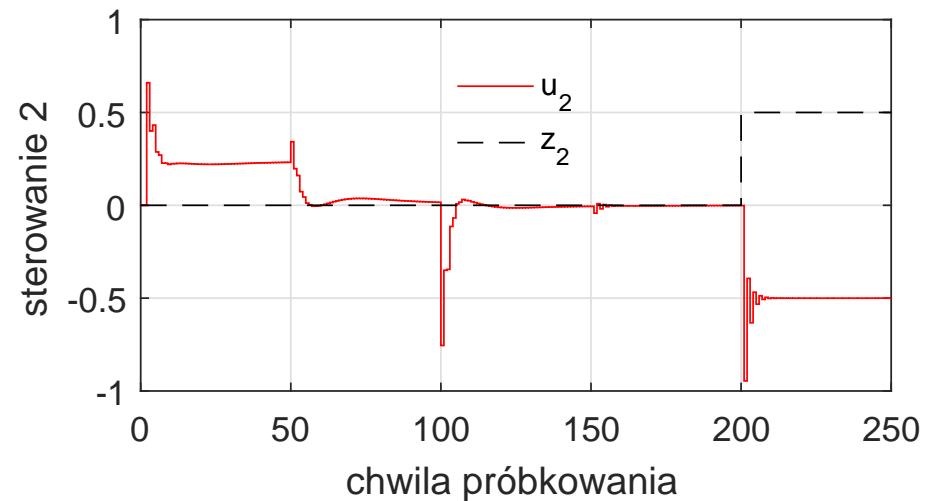
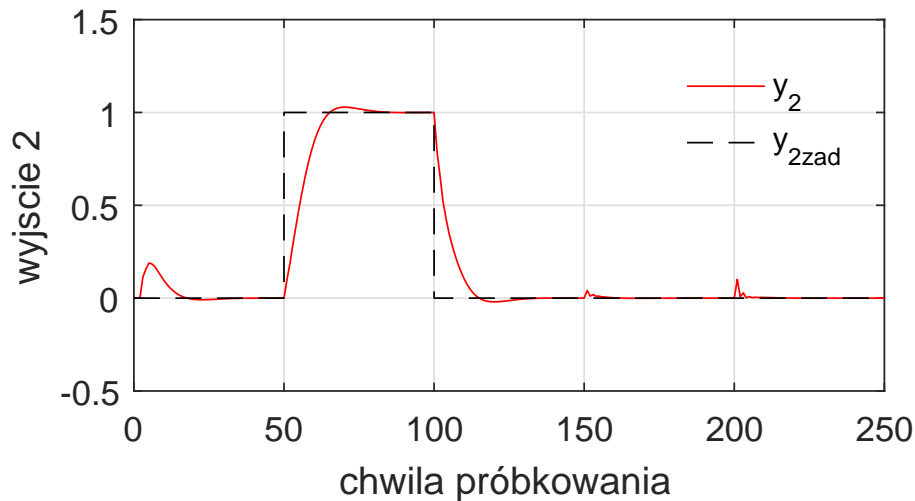
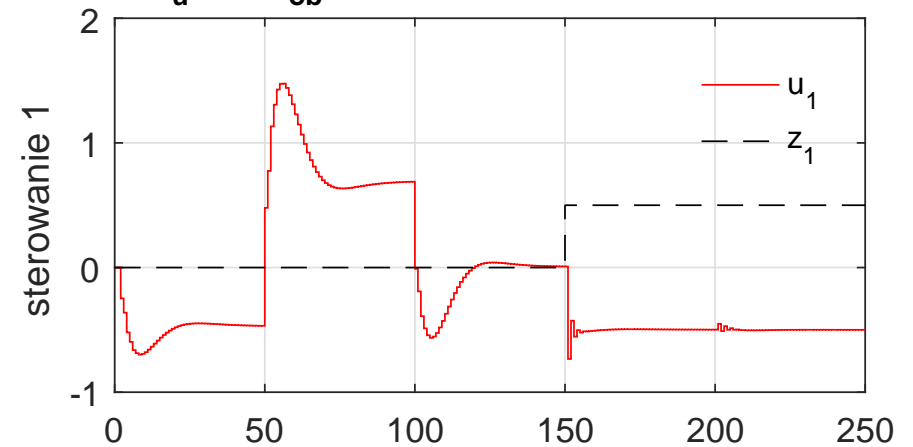
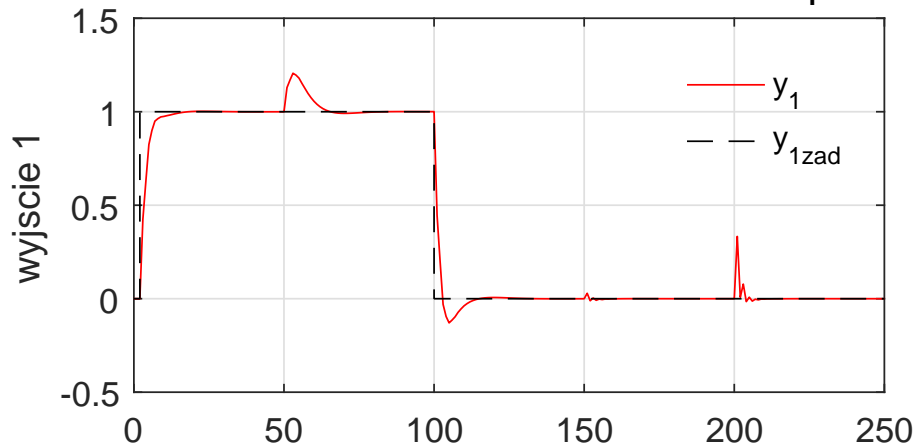
GPC analit. bez ogr.,  $\lambda_1 = 0.1$ ,  $\lambda_2 = 0.1$ ,  $N = 10$ ,  $N_u = 3$ ,  $k_{ob} \times 1.4$



Wyniki symulacji z regulatorem GPC analitycznym, bez ograniczeń, skoki wartości zadanych i zakłóceń na wejściach obiektu, **wzmocnienie obiektu zwiększone o 40%**.

# GPC dla obiektu MIMO – przykład (10)

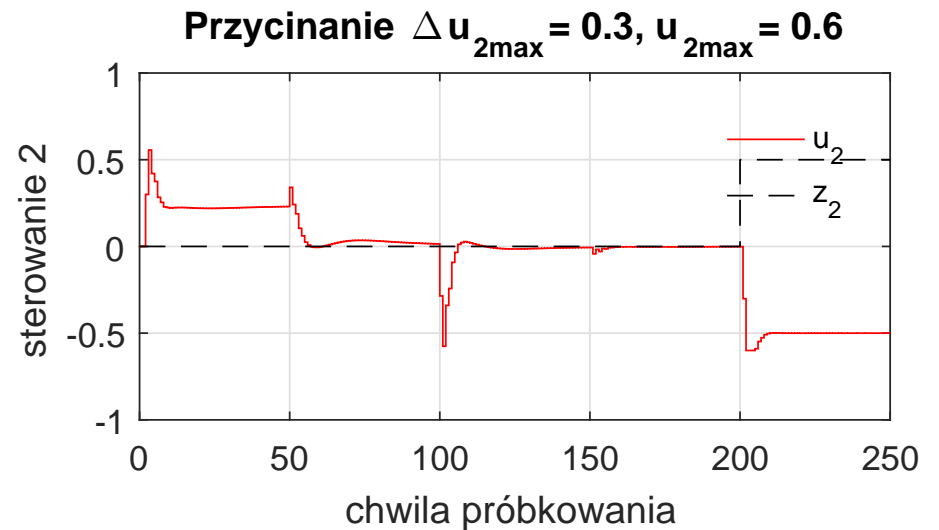
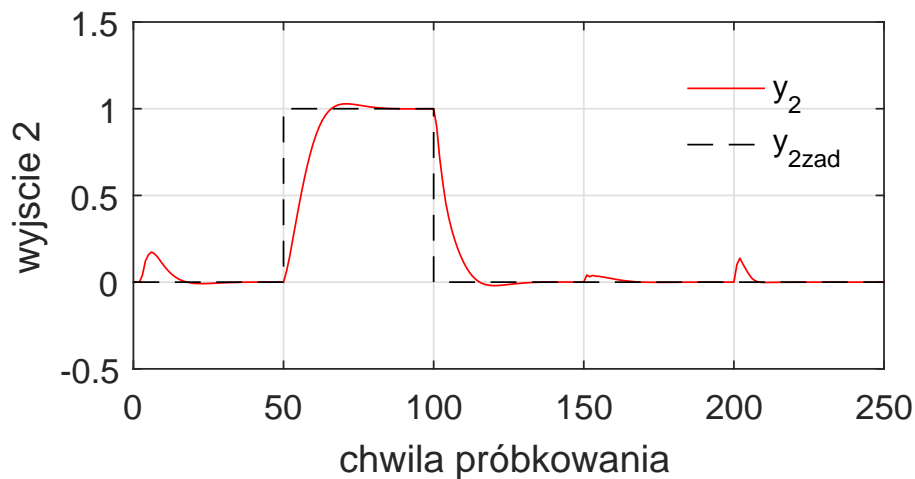
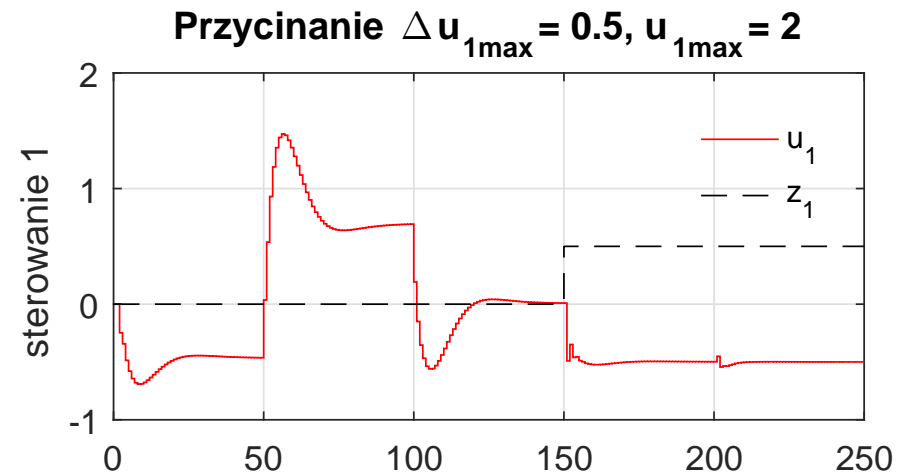
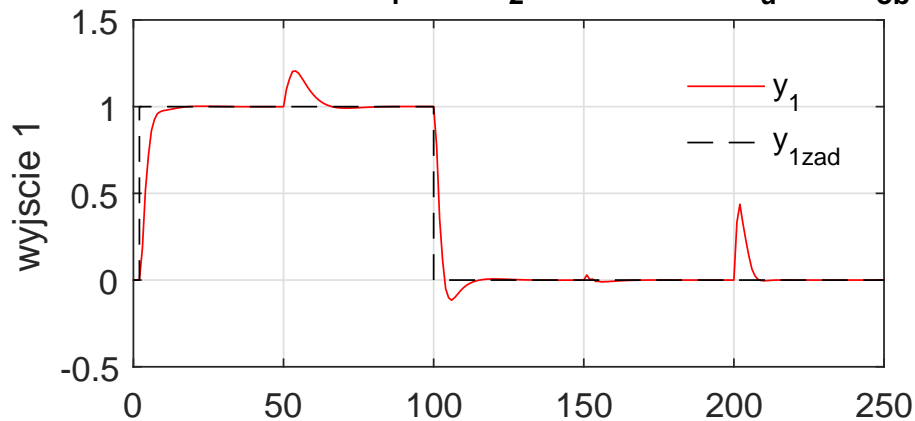
GPC analit. bez ogr.,  $\lambda_1 = 1$ ,  $\lambda_2 = 1$ ,  $N = 10$ ,  $N_u = 3$ ,  $k_{ob} \times 1.4$



Wyniki symulacji z regulatorem GPC analitycznym, bez ograniczeń, skoki wartości zadanych i zakłóceń na wejściach obiektu, **wzmocnienie obiektu zwiększone o 40%, zwiększone współczynniki kary  $\lambda_1 = 1$ ,  $\lambda_2 = 1$ .**

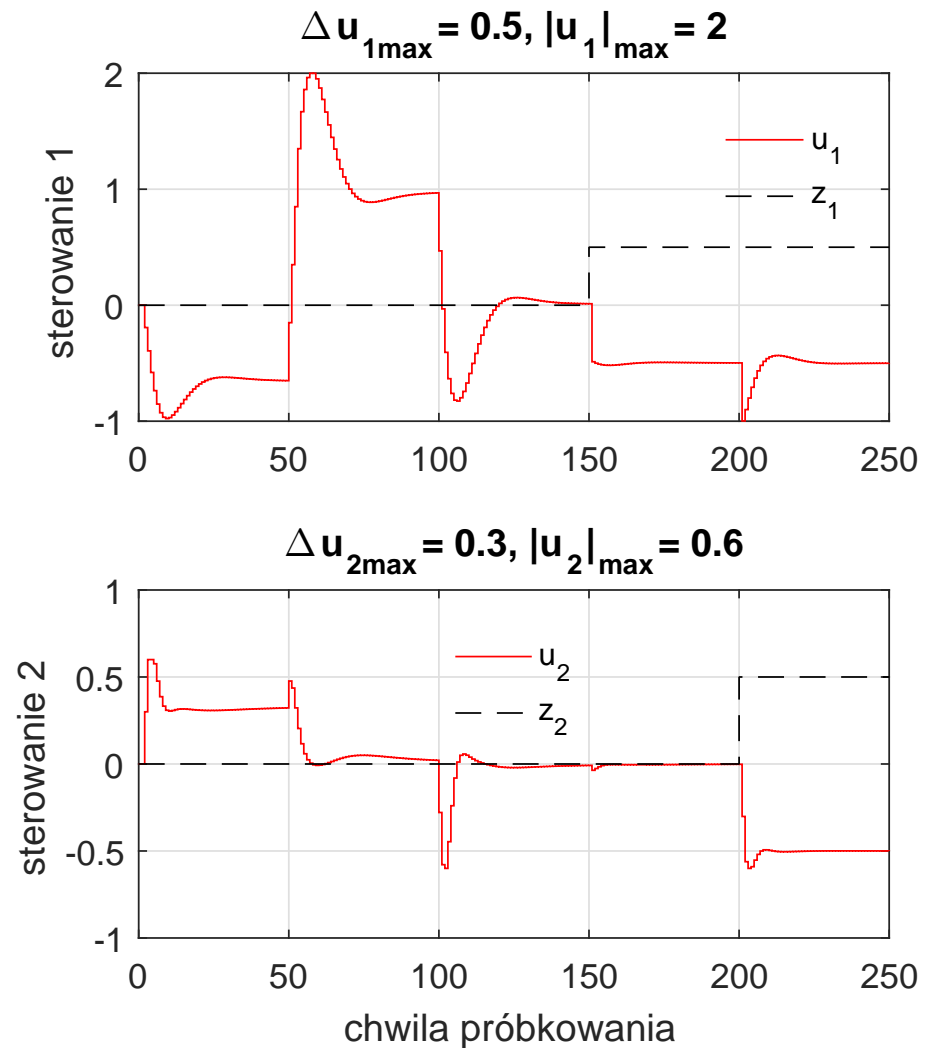
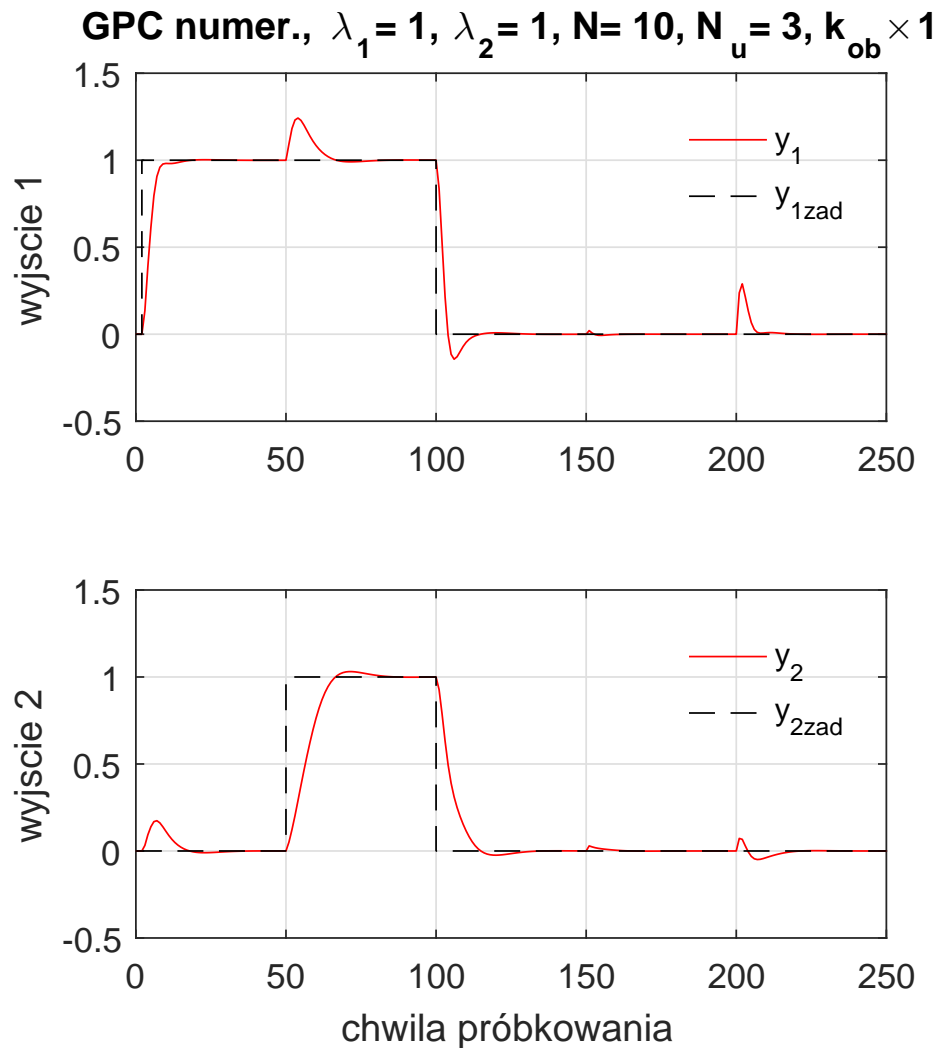
# GPC dla obiektu MIMO – przykład (11)

GPC analit. z ogr.,  $\lambda_1 = 1$ ,  $\lambda_2 = 1$ ,  $N = 10$ ,  $N_u = 3$ ,  $k_{ob} \times 1.4$



Wyniki symulacji z regulatorem **GPC analitycznym z ograniczeniami (przycinanie sterowania do ograniczeń)**, skoki wartości zadanych i zakłóceń na wejściach obiektu.

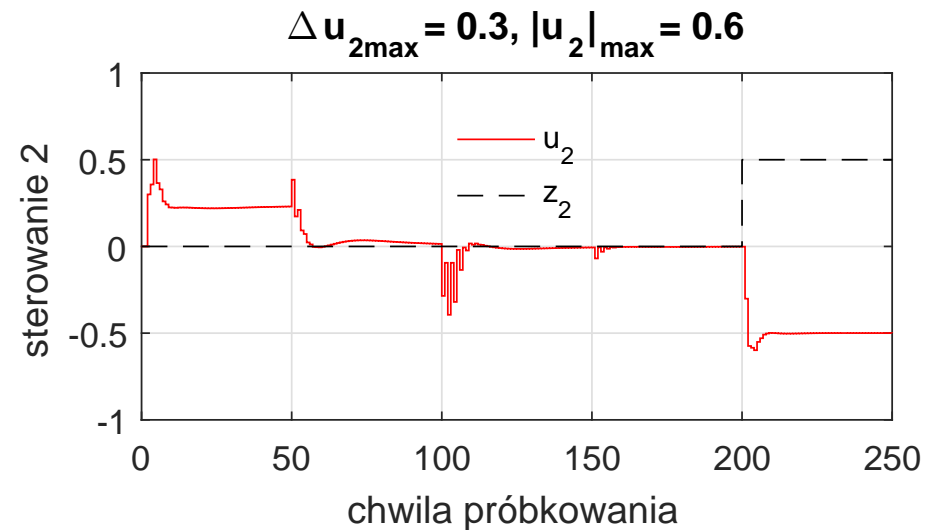
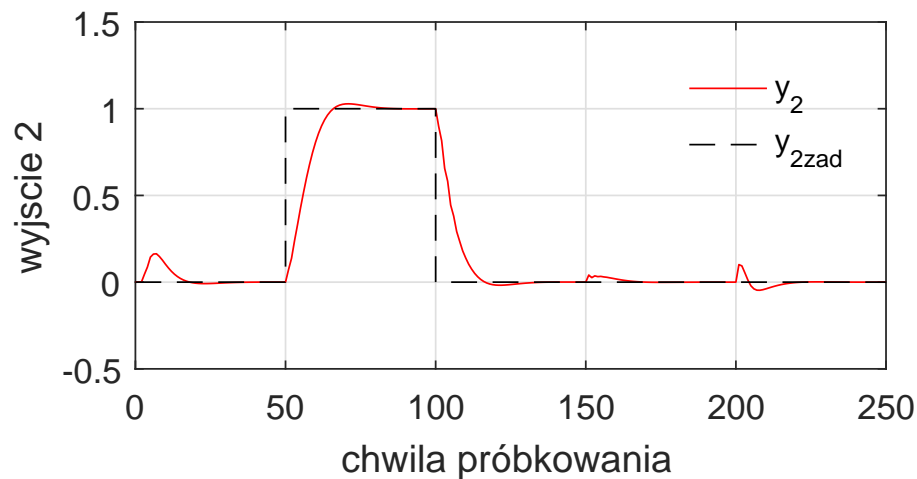
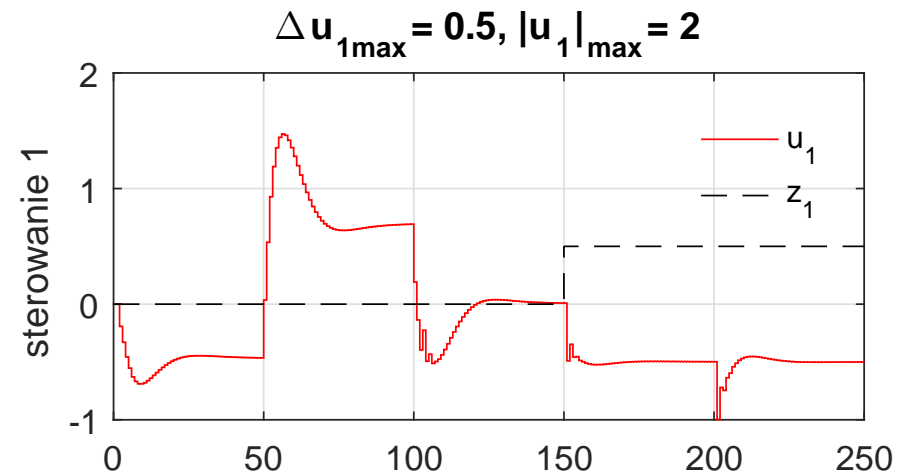
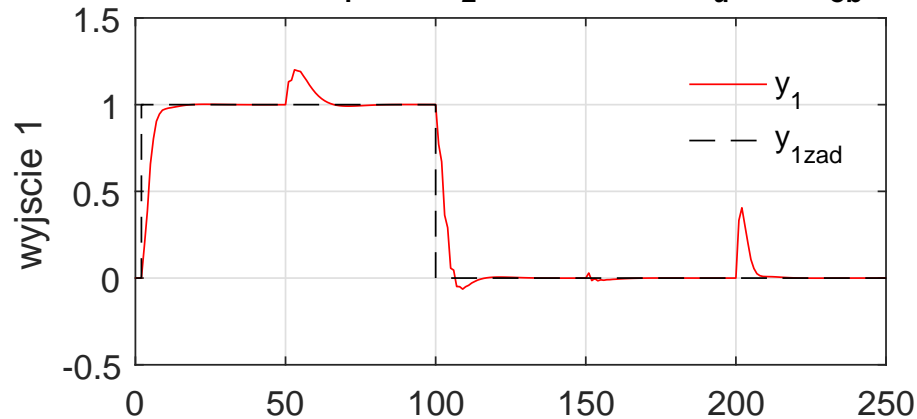
# GPC dla obiektu MIMO – przykład (12)



Wyniki symulacji z regulatorem **GPC numerycznym z ograniczeniami**, skoki wartości zadanych i zakłóceń na wejściach obiektu (model równy obiektowi).

# GPC dla obiektu MIMO – przykład (13)

GPC numer.,  $\lambda_1 = 1$ ,  $\lambda_2 = 1$ ,  $N = 10$ ,  $N_u = 3$ ,  $k_{ob} \times 1.4$



Wyniki symulacji z regulatorem **GPC numerycznym z ograniczeniami**, skoki wartości zadanych i zakłóceń na wejściach obiektu (**wzmocnienie obiektu zwiększone o 40%**).



# GPC dla obiektu MIMO - model obiektu, podejście MIMO (macierzowe)\*

Model dla obiektu SISO był:

$$y(k) = -a_1 y(k-1) - \dots - a_{n_A} y(k-n_A) + b_0 u(k-1) + \dots + b_{n_B} u(k-n_B-1) + d(k),$$

$$(1 + a_1 z^{-1} + \dots + a_{n_A} z^{-n_A}) \cdot y(k) = (b_0 + b_1 z^{-1} + \dots + b_{n_B} z^{-n_B}) z^{-1} \cdot u(k) + d(k),$$

tnzn. równoważnie:

$$A(z^{-1}) \cdot y(k) = B(z^{-1}) z^{-1} \cdot u(k) + d(k),$$

Dla obiektu MIMO ( $y \in \mathbb{R}^{n_y}$ ,  $u \in \mathbb{R}^{n_u}$ ) model ten można bezpośrednio uogólnić, do postaci:

$$\mathbf{A}(z^{-1}) y(k) = \mathbf{B}(z^{-1}) z^{-1} u(k) + d(k),$$

gdzie  $\mathbf{A} \in \mathbb{R}^{n_y \times n_y}$  i  $\mathbf{B} \in \mathbb{R}^{n_y \times n_u}$  są macierzami wielomianowymi:

$$\mathbf{A}(z^{-1}) = \mathbf{1} + \mathbf{A}_1 z^{-1} + \mathbf{A}_2 z^{-2} + \dots + \mathbf{A}_{n_A} z^{-n_A},$$

$$\mathbf{B}(z^{-1}) = \mathbf{B}_0 + \mathbf{B}_1 z^{-1} + \mathbf{B}_2 z^{-2} + \dots + \mathbf{B}_{n_B} z^{-n_B},$$

przy czym  $\mathbf{A}(z^{-1})$  jest macierzą diagonalną, zaś  $d(k)$  to zakłócenie (przedziałami) stałe (lub biały szum  $e(k)$  całkowany:  $d(k+1) = d(k) + e(k)$ ).

Wygodniej jest traktować obiekt MIMO jako  $n_y$  obiektów MISO (multi-input single-output).

\*material uzupełniający

## GPC dla obiektu MIMO – model obiektu (podejście MIMO), przykład\*

W przykładzie poprzednim wyznaczono równania dyskretne dla dwóch obiektów MISO:

$$\begin{aligned}(1 - 1.862885z^{-1} + 0.866877z^{-2})y_1(k) &= \\ & (0.041951 - 0.037959z^{-1})u_1(k-1) + (0.475812 - 0.455851z^{-1})u_2(k-1), \\ (1 - 1.869508z^{-1} + 0.873715z^{-2})y_2(k) &= \\ & (0.058235 - 0.054027z^{-1})u_1(k-1) + (0.144513 - 0.136097z^{-1})u_2(k-1),\end{aligned}$$

Przedstawiając te modele w jednym modelu MIMO  $\mathbf{A}(z^{-1})\mathbf{y}(k) = \mathbf{B}(z^{-1})z^{-1}\mathbf{u}(k)$ :

$$\begin{aligned}\mathbf{A}(z^{-1}) &= \begin{bmatrix} A^1(z^{-1}) & 0 \\ 0 & A^2(z^{-1}) \end{bmatrix} = \begin{bmatrix} 1 + a_1^1 z^{-1} + a_2^1 z^{-2} & 0 \\ 0 & 1 + a_1^2 z^{-1} + a_2^2 z^{-2} \end{bmatrix} \\ &= \begin{bmatrix} 1 - 1.862885z^{-1} + 0.866877z^{-2} & 0 \\ 0 & 1 - 1.869508z^{-1} + 0.873715z^{-2} \end{bmatrix} \\ \mathbf{B}(z^{-1}) &= \begin{bmatrix} B^{1,1}(z^{-1}) & B^{1,2}(z^{-1}) \\ B^{2,1}(z^{-1}) & B^{2,2}(z^{-1}) \end{bmatrix} = \begin{bmatrix} b_0^{1,1} + b_1^{1,1} z^{-1} & b_0^{1,2} + b_1^{1,2} z^{-1} \\ b_0^{2,1} + b_1^{2,1} z^{-1} & b_0^{2,2} + b_1^{2,2} z^{-1} \end{bmatrix} \\ &= \begin{bmatrix} 0.041951 - 0.037959z^{-1} & 0.475812 - 0.455851z^{-1} \\ 0.058235 - 0.054027z^{-1} & 0.144513 - 0.136097z^{-1} \end{bmatrix}\end{aligned}$$

\*material uzupełniający

## GPC dla obiektu MIMO – model obiektu (podejście MIMO), przykład (2)\*

Ze względu na strukturę macierzy  $\mathbf{A}$ , do symulacji i predykcji w dziedzinie czasu model

$$\mathbf{A}(z^{-1})\mathbf{y}(k) = \mathbf{B}(z^{-1})z^{-1}\mathbf{u}(k) \Leftrightarrow [\mathbf{I} + \bar{\mathbf{A}}(z^{-1})]\mathbf{y}(k) = \mathbf{B}(z^{-1})z^{-1}\mathbf{u}(k)$$

wygodniej jest zapisać w postaci:

$$\mathbf{y}(k) = -\bar{\mathbf{A}}(z^{-1})\mathbf{y}(k) + \mathbf{B}(z^{-1})z^{-1}\mathbf{u}(k).$$

Np. w rozważanym przykładzie  $2 \times 2$ , mamy:

$$\begin{aligned}\bar{\mathbf{A}}(z^{-1}) &= \begin{bmatrix} \bar{A}^1(z^{-1}) & 0 \\ 0 & \bar{A}^2(z^{-1}) \end{bmatrix} = \begin{bmatrix} a_1^1 z^{-1} + a_2^1 z^{-2} & 0 \\ 0 & a_1^2 z^{-1} + a_2^2 z^{-2} \end{bmatrix} \\ &= \begin{bmatrix} -1.862885z^{-1} + 0.866877z^{-2} & 0 \\ 0 & -1.869508z^{-1} + 0.873715z^{-2} \end{bmatrix}\end{aligned}$$

\*material uzupełniający

# GPC dla obiektu MIMO – równania skalarne i macierz dynamiczna $M^*$

Model macierzowy

$$y(k) = -\bar{\mathbf{A}}(z^{-1})y(k) + \mathbf{B}(z^{-1})z^{-1}u(k).$$

można zapisać jako  $m$  modeli skalnych odpowiedzi wyjścia  $y_m$  na  $n_u$  sterowań  $u_j$ ,  $j = 1, \dots, n_u$  (struktura tych modeli MISO identyczna jak modelu SISO !):

$$y_m(k) = - \sum_{i=1}^{n_A} a_i^m y_m(k-i) + \sum_{j=1}^{n_u} \sum_{i=0}^{n_B} b_i^{m,j} u_j(k-1-i) + d_m(k)$$

gdzie  $a_i^m$  to elementy wielomianów  $\bar{A}^m$  (i  $A^m$ ),  $b_i^{m,j}$  to elementy wielomianów  $B^{m,j}$  (założyliśmy, że każdy z wielomianów jest tego samego stopnia,  $n_A^m = n_A$ ,  $n_B^{m,j} = n_B$ , co nie zmniejsza ogólności rozważań).

Z zależności powyższej dostajemy natychmiast wzór na elementy odpowiedzi skokowej (identycznie jak dla modelu SISO), dla każdej pary wejście ( $j$ -te) – wyjście ( $m$ -te):

$$s_k^{m,j} = - \sum_{i=1}^{\min\{k-1, n_A\}} a_i^m s_{k-i}^{m,j} + \sum_{i=0}^{\min\{k-1, n_B\}} b_i^{m,j}, \quad m = 1, \dots, n_y, \quad j = 1, \dots, n_u.$$

Znając elementy wielowymiarowej odpowiedzi skokowej wyliczamy macierz dynamiczną  $\mathbf{M}$ , a stąd trajektorie wymuszane wyjść na horyzoncie predykcji – jak w algorytmie DMC.

\*material uzupełniający

# GPC dla obiektu MIMO – równania skalarne\*

Mamy modele odpowiedzi  $m$ -tego wyjścia  $y_m$  na  $n_u$  sterowań  $u_j$ ,  $j = 1, \dots, n_u$ :

$$y_m(k) = - \sum_{i=1}^{n_A} a_i^m y_m(k-i) + \sum_{j=1}^{n_u} \sum_{i=0}^{n_B} b_i^{m,j} u_j(k-1-i) + d_m(k), \quad m = 1, \dots, n_y.$$

Struktura tego modelu jest identyczna jak dla obiektu SISO, stąd rozumując analogicznie, dostajemy rekurencyjnie elementy składowej swobodnej trajektorii wyjść prognozowanych:

$$\begin{aligned} y_m^0(k+p|k) = & - \sum_{i=1}^{\min\{n_A, p-1\}} a_i^m y_m^0(k+p-i|k) - \sum_{i=\min\{n_A, p-1\}+1}^{n_A} a_i^m y_m(k+p-i) + \\ & + \sum_{j=1}^{n_u} \left[ \sum_{i=0}^{\min\{n_B, p\}} b_i^{m,j} u_j(k-1) + \sum_{i=\min\{n_B, p\}+1}^{n_B} b_i^{m,j} u_j(k-1+p-i) \right] + d_m(k) \end{aligned}$$

$m = 1, \dots, n_y$ ,  $p = 1, \dots, N$ , gdzie

$$d_m(k) = y_m(k) - \left[ - \sum_{i=1}^{n_A} a_i^m y_m(k-i) + \sum_{j=1}^{n_u} \sum_{i=0}^{n_B} b_i^{m,j} u_j(k-1-i) \right]$$

są estymatami zakłóceń wyliczonymi w chwili  $k$ ,  $m = 1, \dots, n_y$ .

\*material uzupełniający

## GPC dla obiektu MIMO – przykład cd.\*

Przykład dyskretnej transmitancji obiektu o 2 wejściach ( $n_u = 2$ ) i 2 wyjściach ( $n_y = 2$ ):

$$\begin{bmatrix} y_1(k) \\ y_2(k) \end{bmatrix} = \begin{bmatrix} \frac{0.041951z^{-1}}{1 - 0.958048z^{-1}} & \frac{0.475812z^{-1}}{1 - 0.904837z^{-1}} \\ \frac{0.058235z^{-1}}{1 - 0.941764z^{-1}} & \frac{0.144513z^{-1}}{1 - 0.927743z^{-1}} \end{bmatrix} \begin{bmatrix} u_1(k) \\ u_2(k) \end{bmatrix}$$

Mamy model w postaci  $y(k) = -\bar{\mathbf{A}}(z^{-1})y(k) + \mathbf{B}(z^{-1})z^{-1}u(k) + d(k)$ , gdzie

$$\begin{aligned} \bar{\mathbf{A}}(z^{-1}) &= \begin{bmatrix} \bar{A}^1(z^{-1}) & 0 \\ 0 & \bar{A}^2(z^{-1}) \end{bmatrix} = \begin{bmatrix} a_1^1 z^{-1} + a_2^1 z^{-2} & 0 \\ 0 & a_1^2 z^{-1} + a_2^2 z^{-2} \end{bmatrix} \\ &= \begin{bmatrix} -1.862885z^{-1} + 0.866877z^{-2} & 0 \\ 0 & -1.869508z^{-1} + 0.873715z^{-2} \end{bmatrix} \end{aligned}$$

$$\begin{aligned} \mathbf{B}(z^{-1}) &= \begin{bmatrix} B^{1,1}(z^{-1}) & B^{1,2}(z^{-1}) \\ B^{2,1}(z^{-1}) & B^{2,2}(z^{-1}) \end{bmatrix} = \begin{bmatrix} b_0^{1,1} + b_1^{1,1}z^{-1} & b_0^{1,2} + b_1^{1,2}z^{-1} \\ b_0^{2,1} + b_1^{2,1}z^{-1} & b_0^{2,2} + b_1^{2,2}z^{-1} \end{bmatrix} \\ &= \begin{bmatrix} 0.041951 - 0.037959z^{-1} & 0.475812 - 0.455851z^{-1} \\ 0.058235 - 0.054027z^{-1} & 0.144513 - 0.136097z^{-1} \end{bmatrix} \end{aligned}$$

\*material uzupełniający

# GPC dla obiektu MIMO – model obiektu, przykład cd.\*

Macierze wielomianowe  $\bar{\mathbf{A}}, \mathbf{B}$  modelu MIMO

$$y(k) = -\bar{\mathbf{A}}(z^{-1})y(k) + \mathbf{B}(z^{-1})z^{-1}u(k)$$

można zapisać w MATLABie jako trójwymiarowe (trzeci wymiar – wielomianowy):

- macierz  $\bar{\mathbf{A}}$  o wymiarze  $n_y \times n_y \times n_A$ ,
- macierz  $\mathbf{B}$  o wymiarze  $n_y \times n_u \times (n_B + 1)$  :

$$\begin{aligned}\bar{\mathbf{A}}(z^{-1}) &= \begin{bmatrix} -1.862885z^{-1} + 0.866877z^{-2} & 0 \\ 0 & -1.869508z^{-1} + 0.873715z^{-2} \end{bmatrix} \\ &= \begin{bmatrix} -1.862885 & 0 \\ 0 & -1.869508 \end{bmatrix} z^{-1} + \begin{bmatrix} 0.866877 & 0 \\ 0 & 0.873715z^{-2} \end{bmatrix} z^{-2} \\ &= \bar{\mathbf{A}}(:, :, 1) z^{-1} + \bar{\mathbf{A}}(:, :, 2) z^{-2}\end{aligned}$$

$$\begin{aligned}\mathbf{B}(z^{-1}) &= \begin{bmatrix} 0.041951 - 0.037959z^{-1} & 0.475812 - 0.455851z^{-1} \\ 0.058235 - 0.054027z^{-1} & 0.144513 - 0.136097z^{-1} \end{bmatrix} \\ &= \begin{bmatrix} 0.041951 & 0.475812 \\ 0.058235 & 0.144513 \end{bmatrix} + \begin{bmatrix} -0.037959 & -0.455851 \\ -0.054027 & -0.136097 \end{bmatrix} z^{-1} \\ &= \mathbf{B}(:, :, 1) + \mathbf{B}(:, :, 2) z^{-1}\end{aligned}$$

\*material uzupełniający

## GPC – obliczenie macierzy dynamicznej\*

```
function M=GPCmatrixM(A,B,N,Nu)
% macierz dynamiczna M dla modelu MIMO  $y(k)=-A*y(k)+B*u(k-1)$ ,
% A - macierz diagonalna wym.  $n_y \times n_y \times n_A$ ; B - macierz wym.  $n_y \times n_u \times n_B+1$ ,
% N - dla horyzont predykcji; Nu - horyzont sterowania
ny=size(B,1); nu=size(B,2); nB=size(B,3)-1; nA=size(A,3);
% Współczynniki odpowiedzi skokowej macierzowej na horyzoncie N:
S=zeros(ny,nu,N);
for ks=1:N
    for m=1:ny
        for j=1:nu
            sx=0; for i=1:min(ks-1,nA), sx=sx-A(m,m,i)*S(m,j,ks-i); end
            for i=1:min(ks,nB+1), sx=sx+B(m,j,i); end
            S(m,j,ks)=sx;
        end
    end
end
M=zeros(N*ny,Nu*nu); % Macierz dynamiczna
for i=1:N, M((i-1)*ny+1:(i-1)*ny+ny,1:nu)=S(:, :, i); end
for i=2:Nu
    M(:,(i-1)*nu+1:(i-1)*nu+nu)=[zeros((i-1)*ny,nu); M(1:(N-i+1)*ny,1:nu)];
end
```

*\*material uzupełniający*



## GPC – fragment programu liczący rekurencyjnie wektor składowej swobodnej predykcji wyjść (macierzowo)\*

```
% wektor składowej swobodnej predykcji wyjść Y0 o długości ny*N
% dla modelu obiektu MIMO  $y(k)=-A*y(k)+B*u(k-1)$ , gdzie
% A - macierz diagonalna wym. ny x ny x nA; B - macierz wym. ny x nu x nB+1,
% k - bieżąca chwila czasu
% y - wektor bieżącego i poprzednich wyjść y(1:ny,1:k)
% u - wektor poprzednich sterowań u(1:nu,1:k-1)
...
dk=zeros(ny,1);
for i=1:nA, dk=dk-A(:, :, i)*y(:, max(1, k-i)); end
for i=1:nB+1, dk=dk+B(:, :, i)*u(:, max(1, k-i)); end
dy=y(:, k)-dk; %estymata zakłócenia
Y0matrix=zeros(ny, N); %(macierz pomocnicza do obliczeń predykcji )
for p=1:N
    yx=zeros(ny, 1);
    for i=1:min(nA, p-1), yx=yx-A(:, :, i)*Y0matrix(:, p-i); end
    for i=min(nA, p-1)+1:nA, yx=yx-A(:, :, i)*y(:, k+p-i); end
    for i=0:min(nB, p), yx=yx+B(:, :, i+1)*u(:, k-1); end
    for i=min(nB, p)+1:nB, yx=yx+B(:, :, i+1)*u(:, max(1, k-1+p-i)); end
    Y0matrix(:, p)=yx+dy;
end
for i=1:N, Y0((i-1)*ny+1:(i-1)*ny+ny)=Y0matrix(:, i); end
```

\*material uzupełniający